

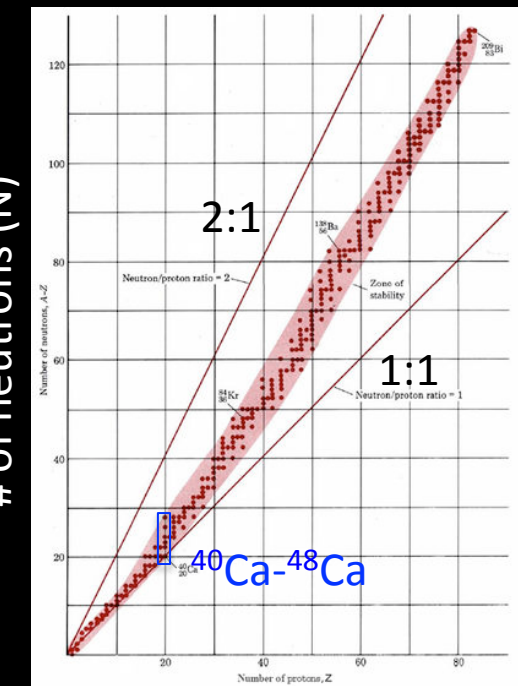
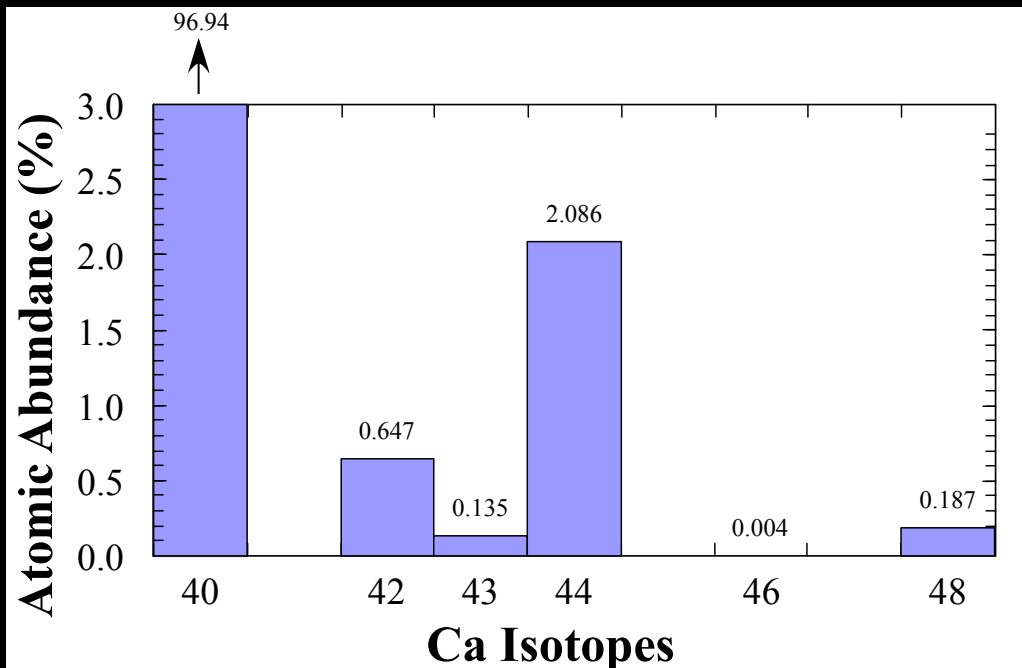
钙同位素在高温地球化学和 天体化学中的应用

黄士春

内华达大学拉斯维加斯分校

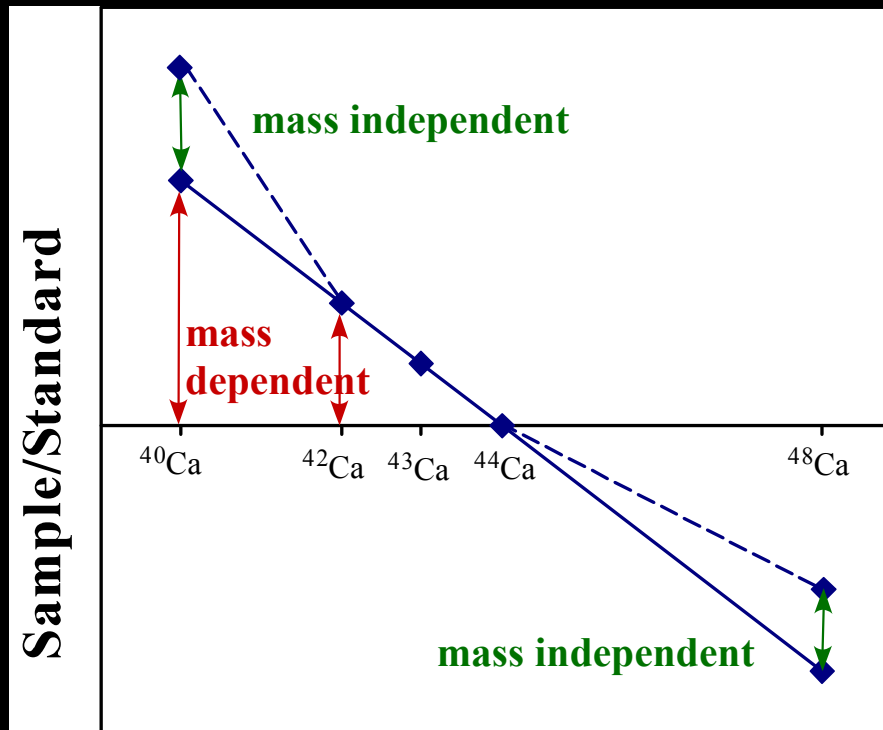
二零二零年八月 | 第三届非传统稳定同位素暑期学校

钙(Z=20): 地球上丰度第五的元素



- **^{40}Ca** : 氧燃烧, 硅燃烧 , ^{40}K 的衰变产物 ($t_{1/2} = 1.27 \text{ Ga}$)
- **^{42}Ca and ^{43}Ca** : 氧燃烧
- **^{44}Ca** : 氧燃烧, 硅燃烧 -- ^{44}Ti 的衰变产物 ($t_{1/2}=60 \text{ 年}$)
- **^{46}Ca** : 慢中子捕获过程(s-process)
- **^{48}Ca** : 富中子核合成 (neutron-rich nucleosynthesis)
 - ❖ Type Ia supernova explosions (Woosley, 1997)
 - ❖ electron-capture supernova explosions (Wanajo et al., 2013)

质量相关和非质量相关同位素变化



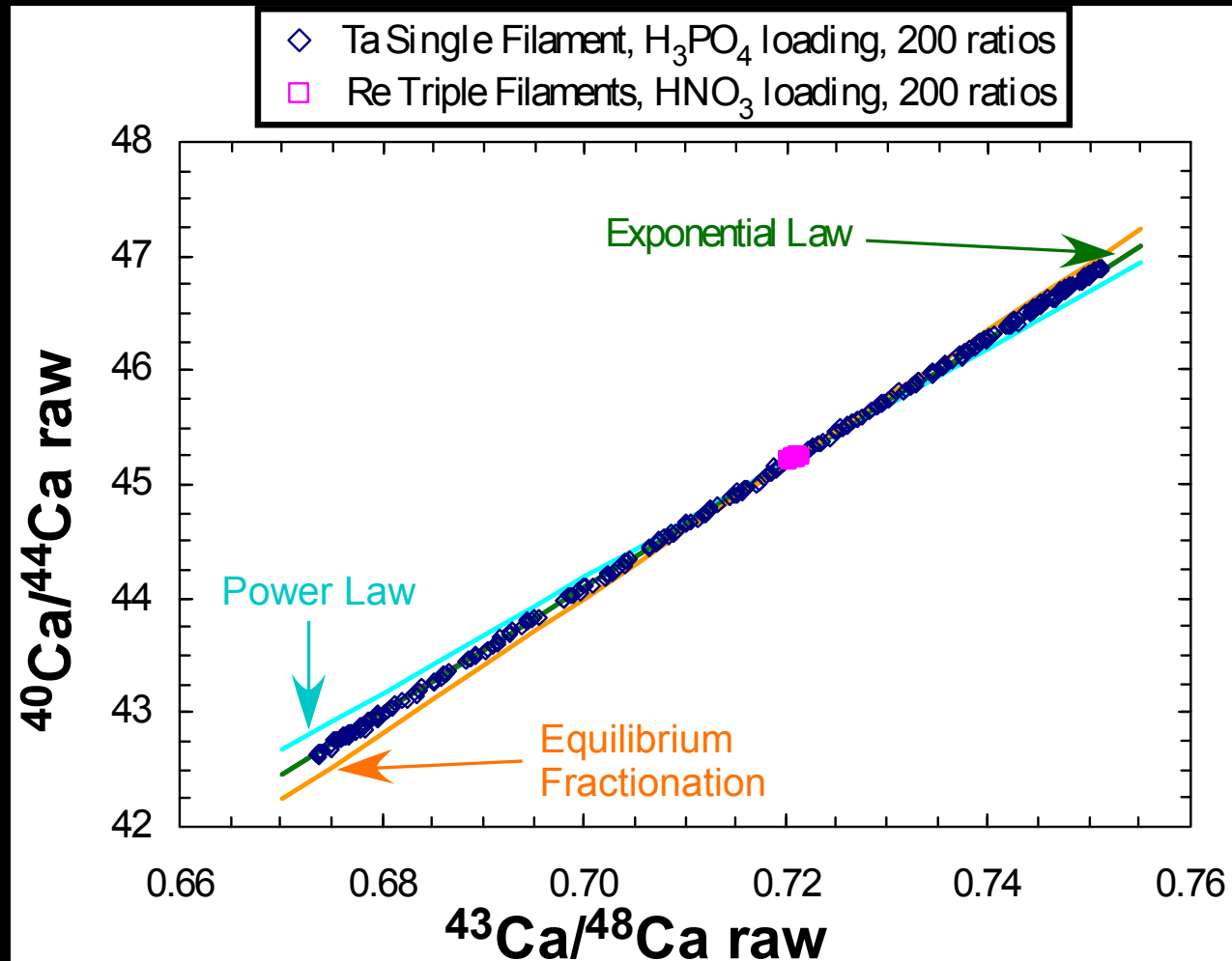
- 质量相关 (**mass dependent**) : 同位素丰度变化大小和同位素的质量差成正比
- 非质量相关 (**mass independent**) : 偏离质量相关同位素变化
 - ❖ 同位素衰变
 - ❖ 核合成异常
 - ❖ 核体积效应 (见刘耘教授的报告)

钙同位素测量

- 非质量相关钙同位素变化测量
 - ❖ 仪器和自然分馏纠正至 $^{42}\text{Ca}/^{44}\text{Ca}=0.31221$ (TIMS, MC-ICP-MS, SIMS)
 - ❖ $\varepsilon^{4i/44}\text{Ca} = [(^{4i}\text{Ca}/^{44}\text{Ca}_{\text{sample (N)}})/(^{4i}\text{Ca}/^{44}\text{Ca}_{\text{SRM915a (N)}}) - 1] * 10^4$
- 质量相关钙同位素变化测量
 - ❖ $\delta^{4i/4j}\text{Ca} = [(^{4i}\text{Ca}/^{4j}\text{Ca}_{\text{sample}})/(^{4i}\text{Ca}/^{4j}\text{Ca}_{\text{SRM915a}}) - 1] * 10^3$
 - ❖ TIMS: 仪器分馏使用双稀释剂纠正
 - ✧ $^{43}\text{Ca}-^{48}\text{Ca}$
 - ✧ $^{42}\text{Ca}-^{48}\text{Ca}$
 - ✧ $^{42}\text{Ca}-^{43}\text{Ca}$
 - ❖ MC-ICP-MS: standard-sample bracketing (见于慧敏教授的报告)
 - ✧ ignoring ^{40}Ca (Feng et al., 2018)
 - ✧ cool plasma (Fietzke et al., 2004)
 - ✧ collision cell MC-ICP-MS (Sapphire)

钙同位素测量

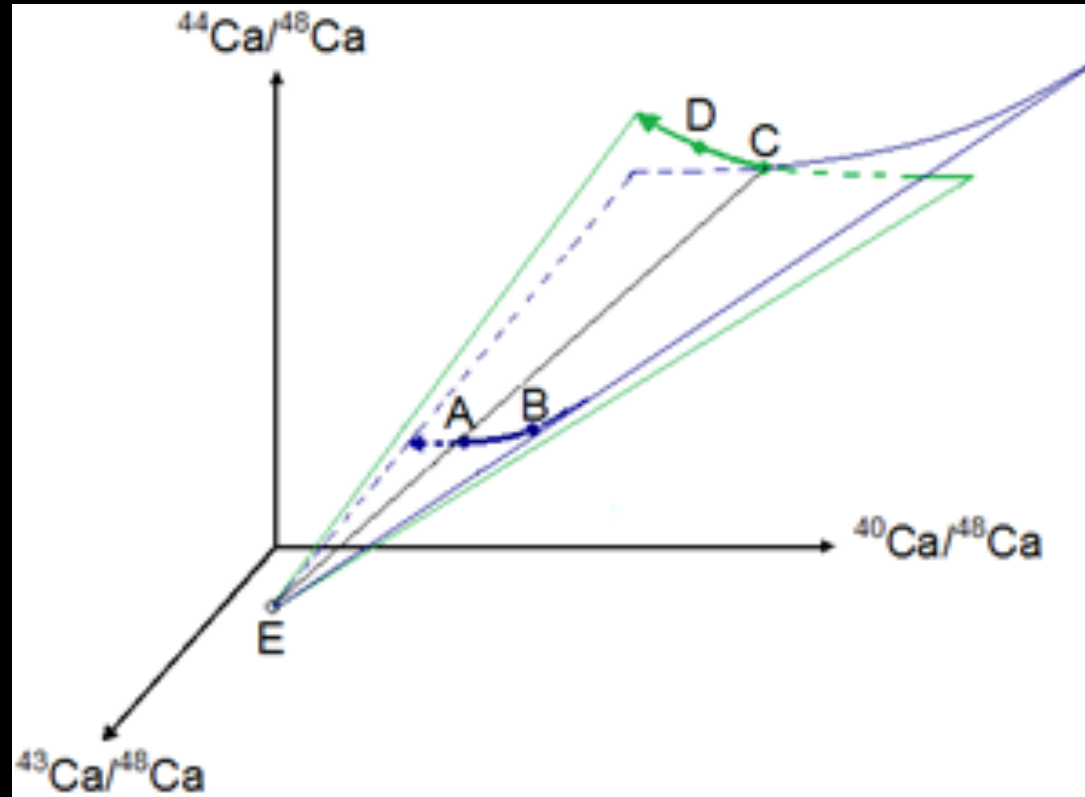
- TIMS: 仪器分馏服从指数率



钙同位素测量

➤ 质量相关钙同位素变化测量

- ❖ TIMS: 仪器分馏使用双稀释剂纠正 (e.g., Eugster et al., 1969)
- ❖ 必须有四个或者更多的同位素



C: 样品真值

A: (样品+双稀释剂) 真值

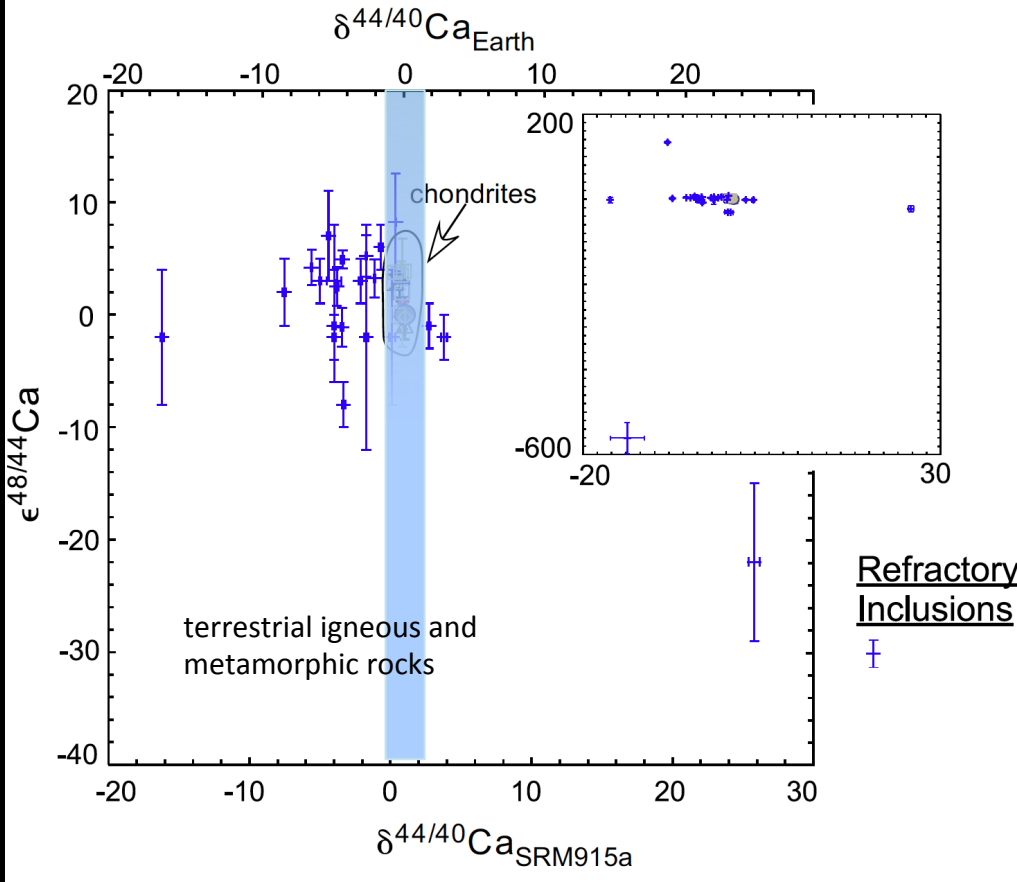
D: 样品测量值

B: (样品+双稀释剂) 测量值

E: 双稀释剂真值

太阳系内的钙同位素变化

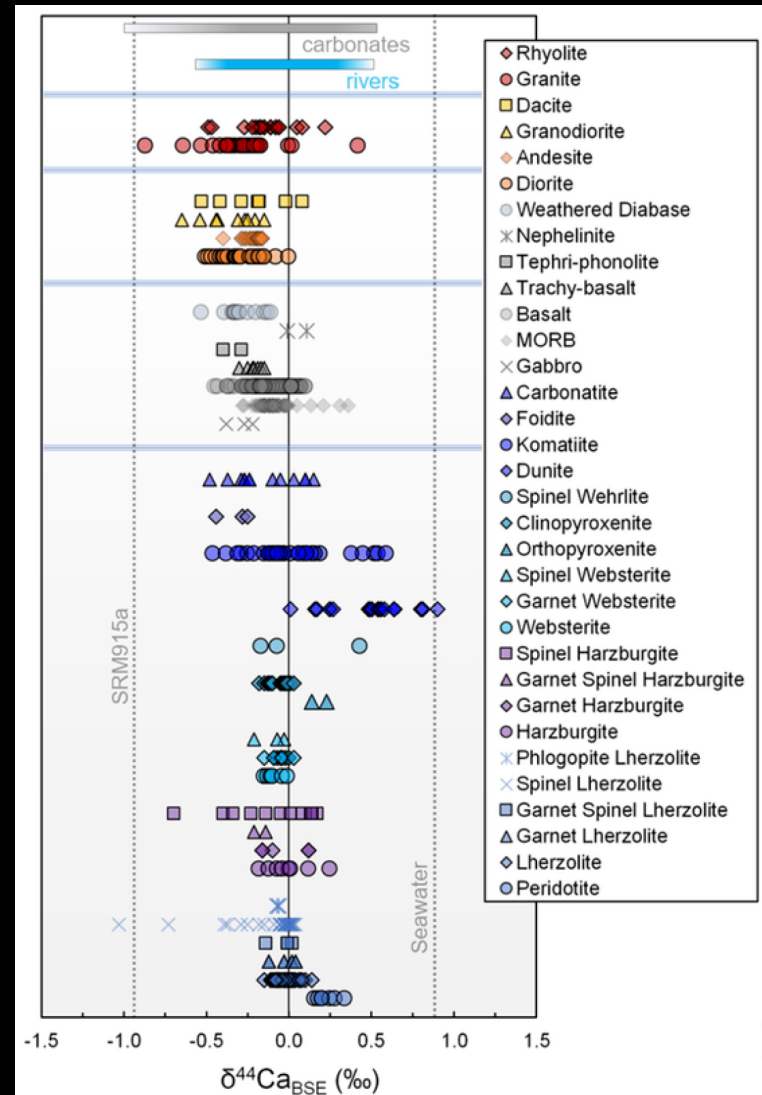
球粒陨石和它们的组成部分
chondrites and their components



Huang and Jacobsen (2017)

地球上的硅酸盐

terrestrial igneous and metamorphic rocks



Antonelli and Simon (2020)

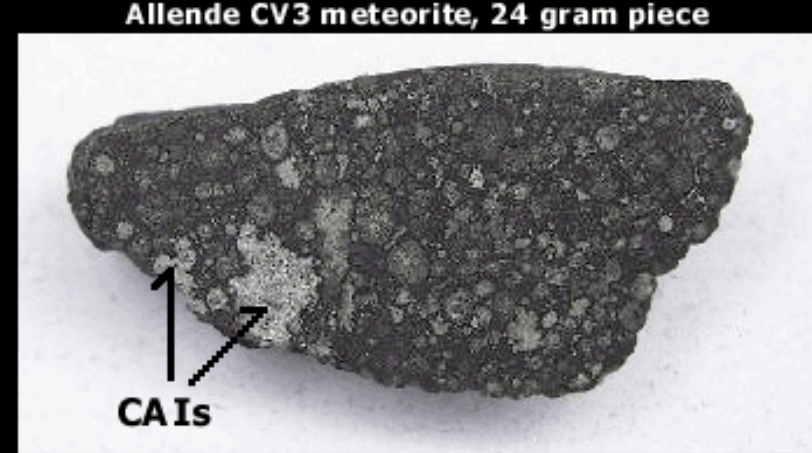
球粒陨石

- 球粒陨石的母体没有经历过行星尺度的分异过程（熔融）
- 可以代表太阳系初期星云的成份

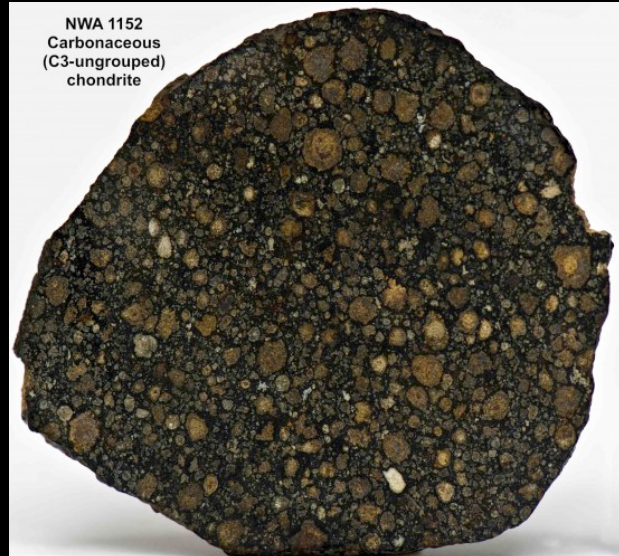
- ❖ carbonaceous chondrites (碳质)
- ❖ ordinary chondrites (普通)
- ❖ enstatite chondrites (顽火辉石)

➤ chondrite components

- ❖ refractory inclusions (难熔包裹体)
 - ✧ Ca-Al-rich inclusions (CAIs)
 - ✧ Amoeboid olivine aggregates (AOAs)
(蠕虫状橄榄石集合体)
- ❖ chondrules (球粒)
- ❖ matrix (基质)

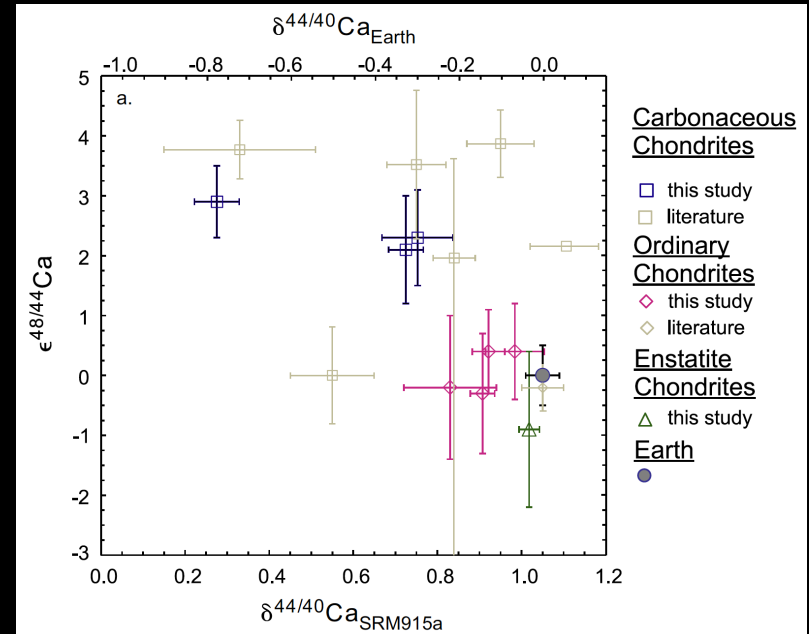
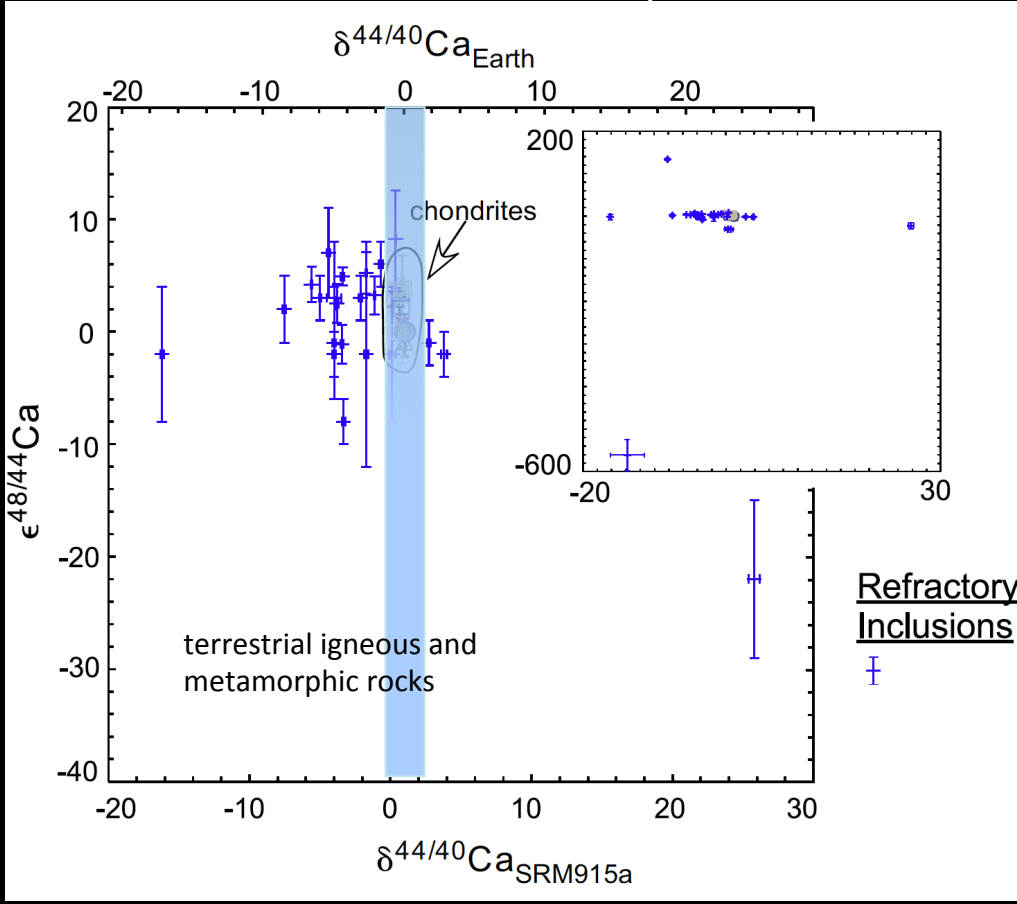


(Image courtesy of Falling Stars Inc.)



太阳系内的钙同位素变化

chondrites and their components

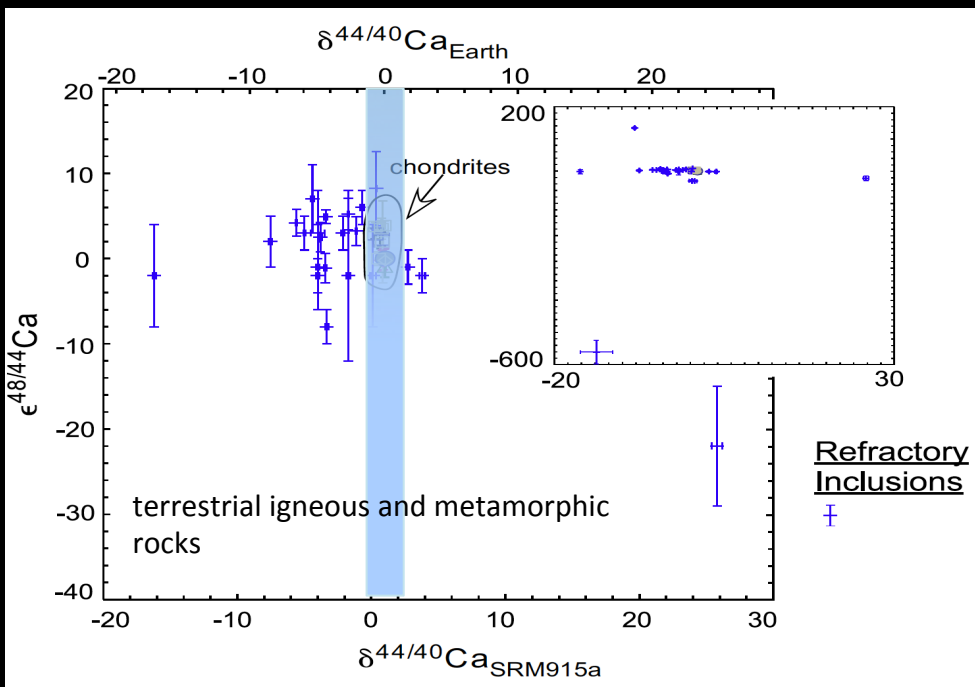


- 难熔包裹体有非常大的质量相关和非质量相关的钙同位素效应
- 球粒陨石有质量相关和非质量相关的钙同位素效应
 - ❖ 和难熔包裹体比较，尺度较小
 - ❖ $\delta^{44/40}\text{Ca}_{\text{915a}} = 0.2 \text{ to } 1.1$

Huang and Jacobsen (2017) with data from: Jungck et al. (1984); Lee et al. (1978); Russell et al. (1978); Niederer and Papanastassiou (1984); Clayton et al. (1988); Simon et al. (2009); Moynier et al. (2010); Simon and DePaolo (2010); Huang et al. (2012); Valdes et al. (2014); Schiller et al. (2015); Bermingham et al. (2018)

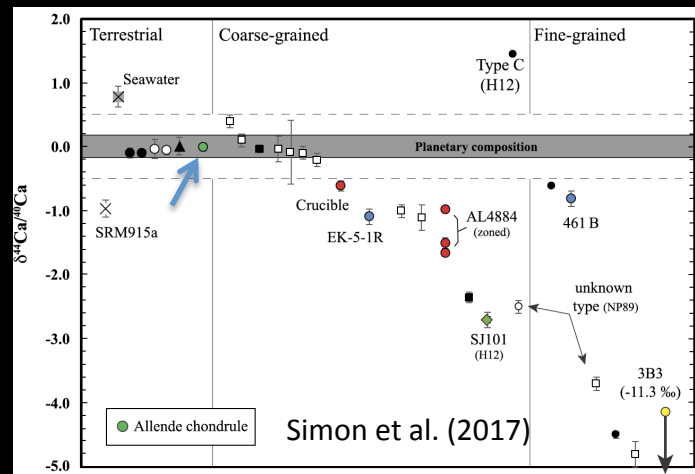
太阳系内的钙同位素变化

chondrites and their components

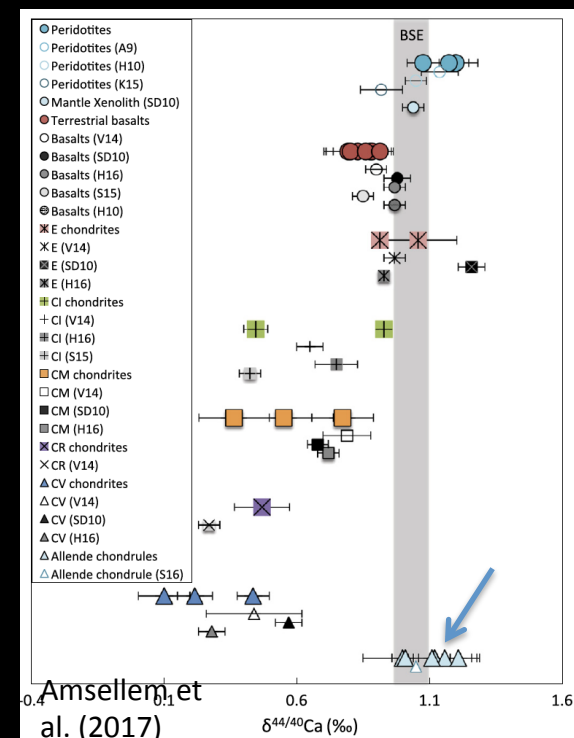
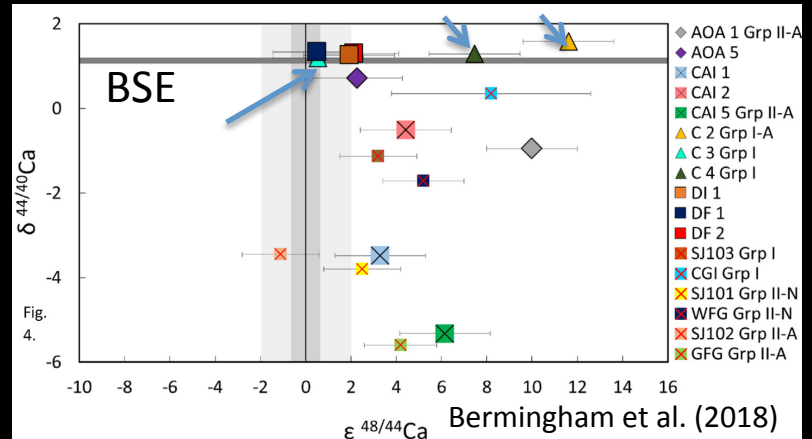


Huang and Jacobsen (2017)

- 球粒有质量相关和非质量相关的钙同位素效应
- $\delta^{44/40}\text{Ca}_{915a} = 0.53 \text{ to } 1.59$

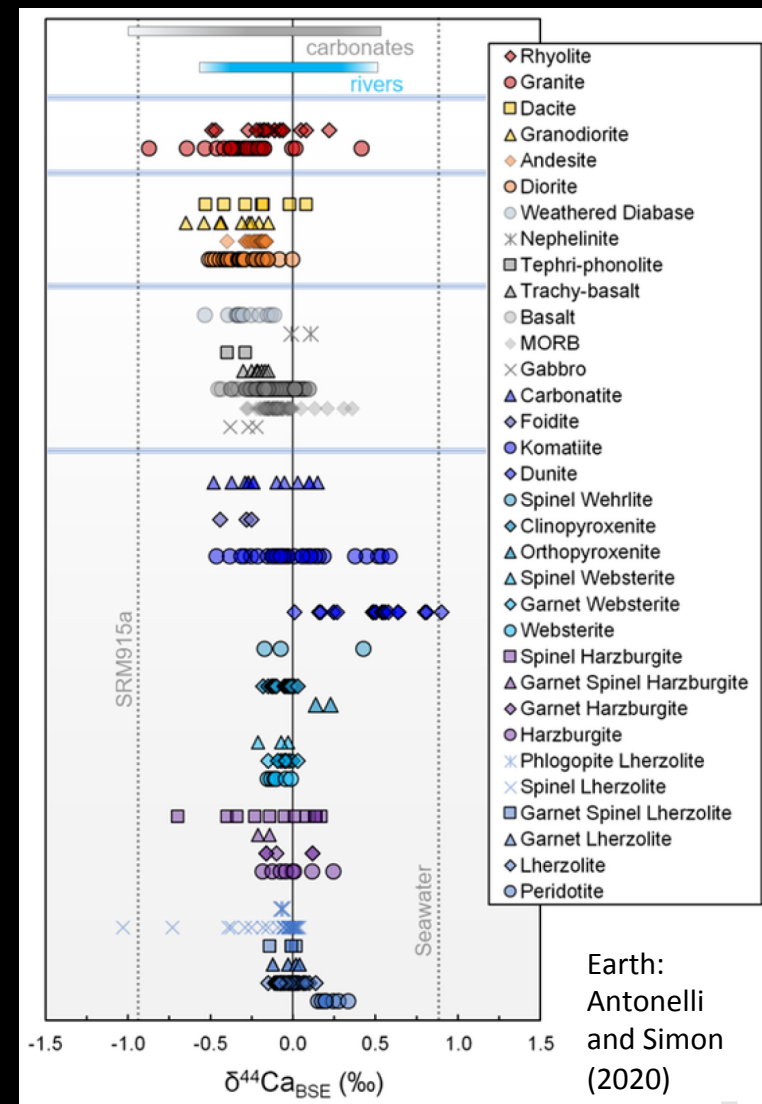
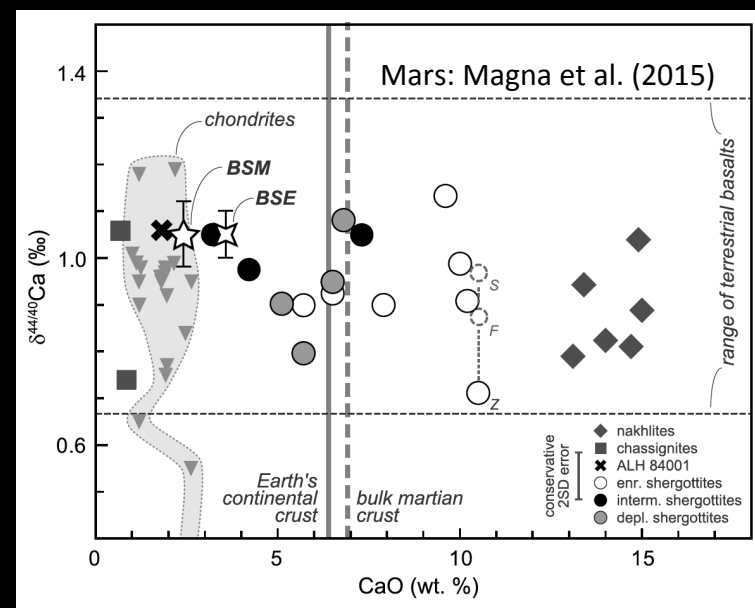
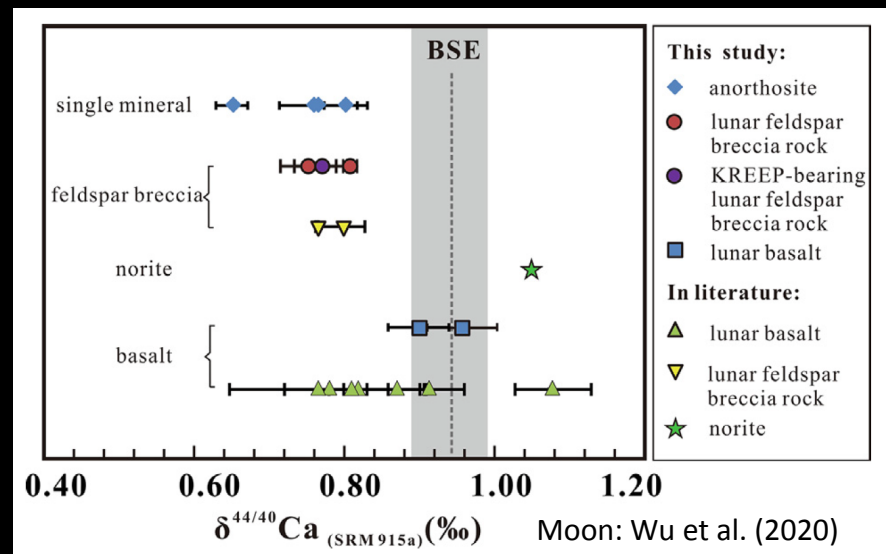


Simon et al. (2017)



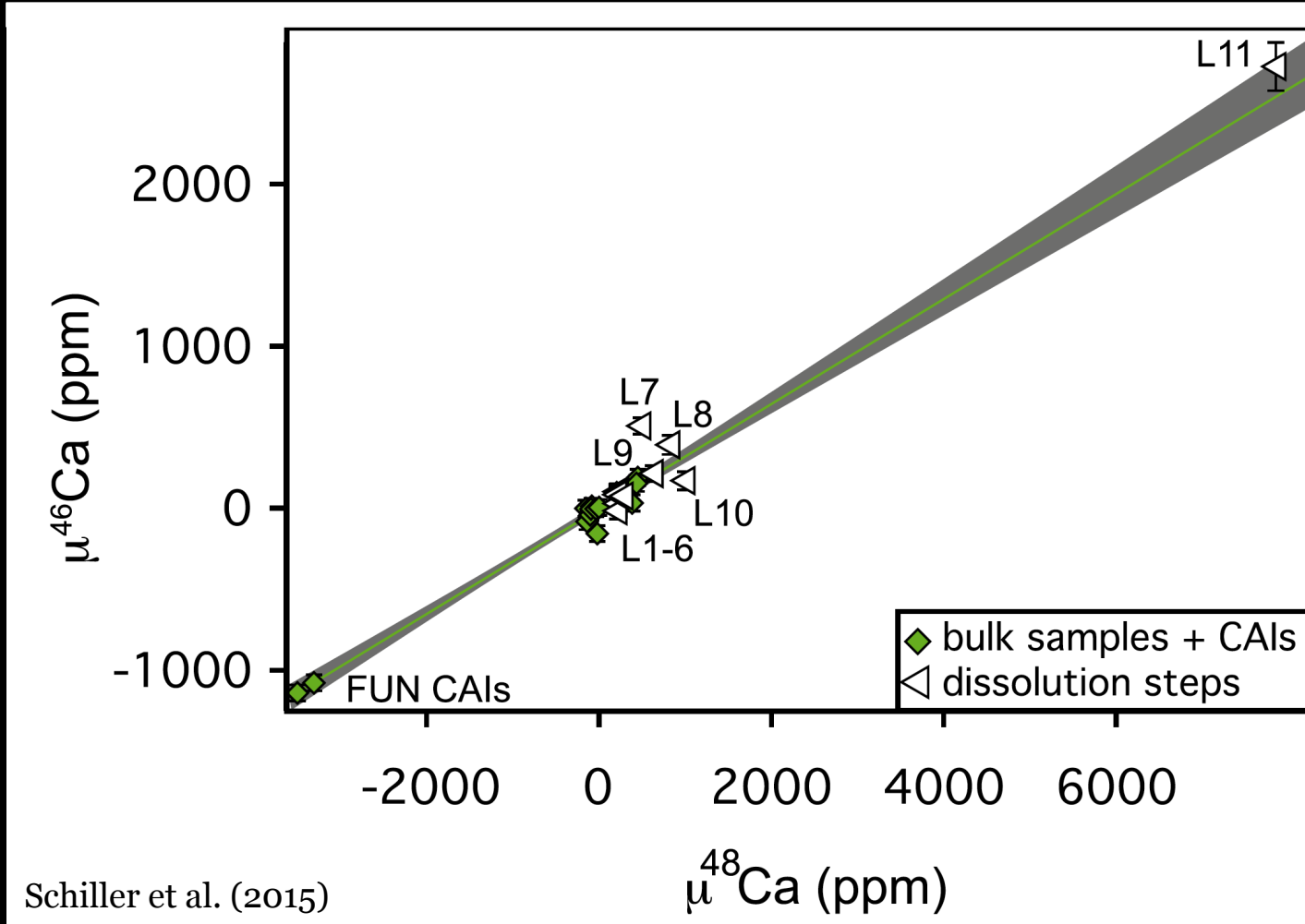
Amsellem et al. (2017)

太阳系内的钙同位素变化



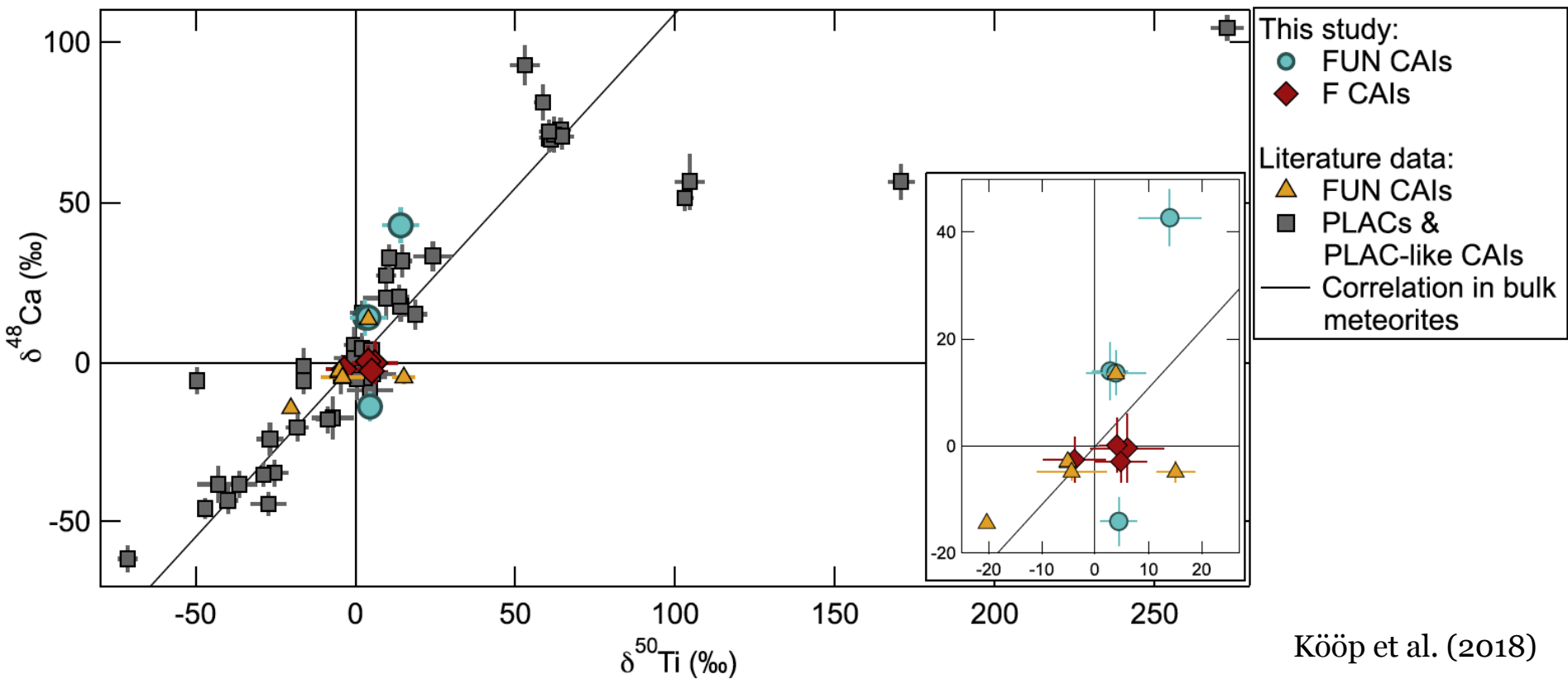
➤ Earth, Moon, Mars: $\delta^{44/40}\text{Ca}_{915\text{a}} = -0.1 \text{ to } 1.9$

难熔包裹体和球粒陨石全岩中的 ^{46}Ca 异常



- 在文献里，质量不相关同位素变化有时候用 μ -notation来表示
- 因为低丰度的原因， ^{46}Ca 异常的测量不多

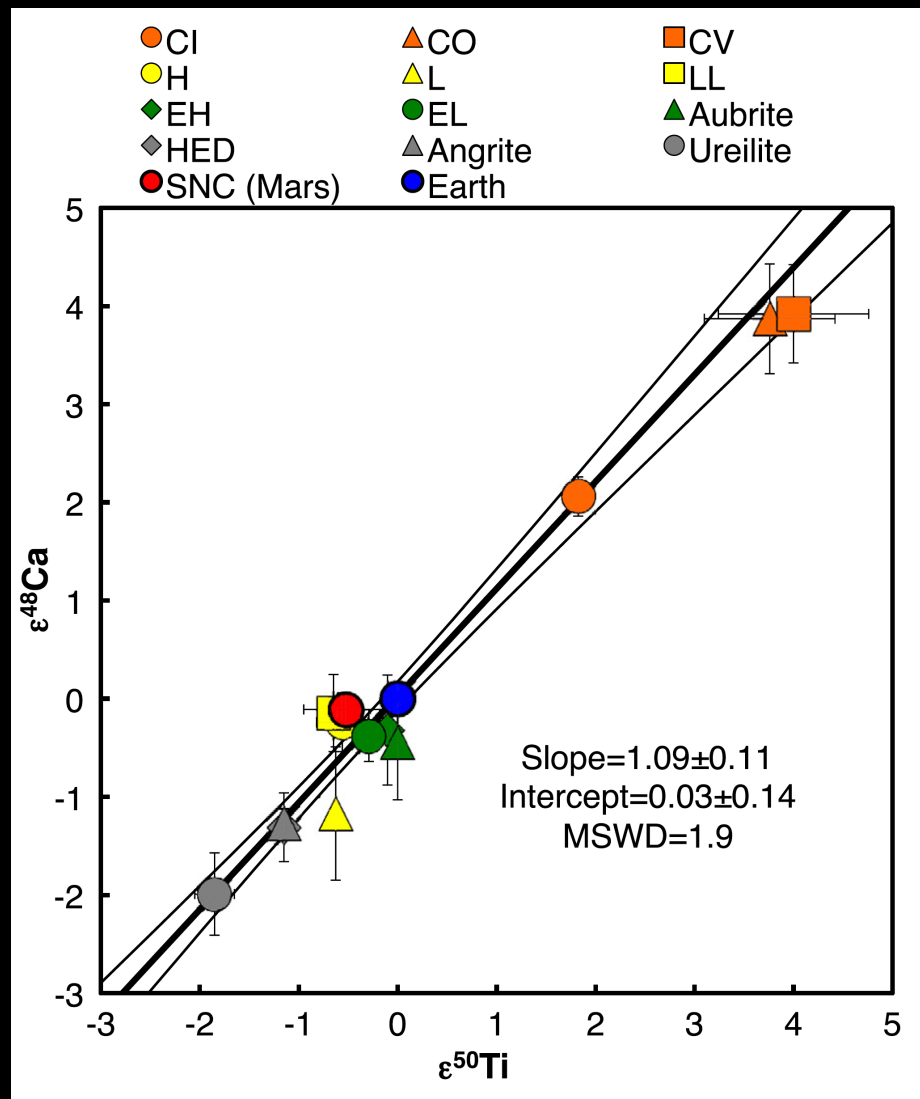
难熔包裹体中的富中子同位素(^{48}Ca , ^{50}Ti)异常



Kööp et al. (2018)

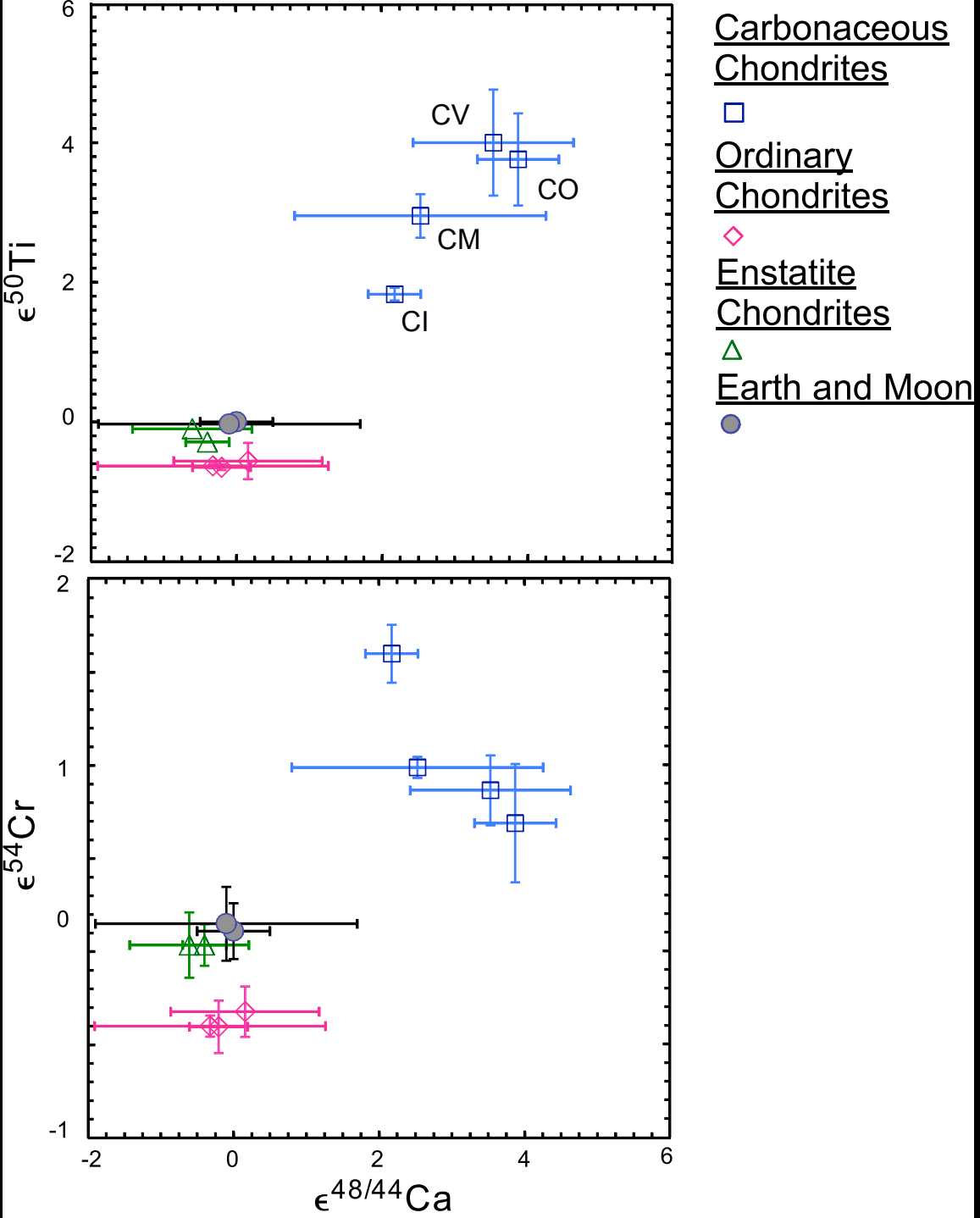
- 在文献里，质量不相关同位素变化有时候用 δ -notation来表示

陨石中的富中子同位素(^{48}Ca , ^{50}Ti)异常



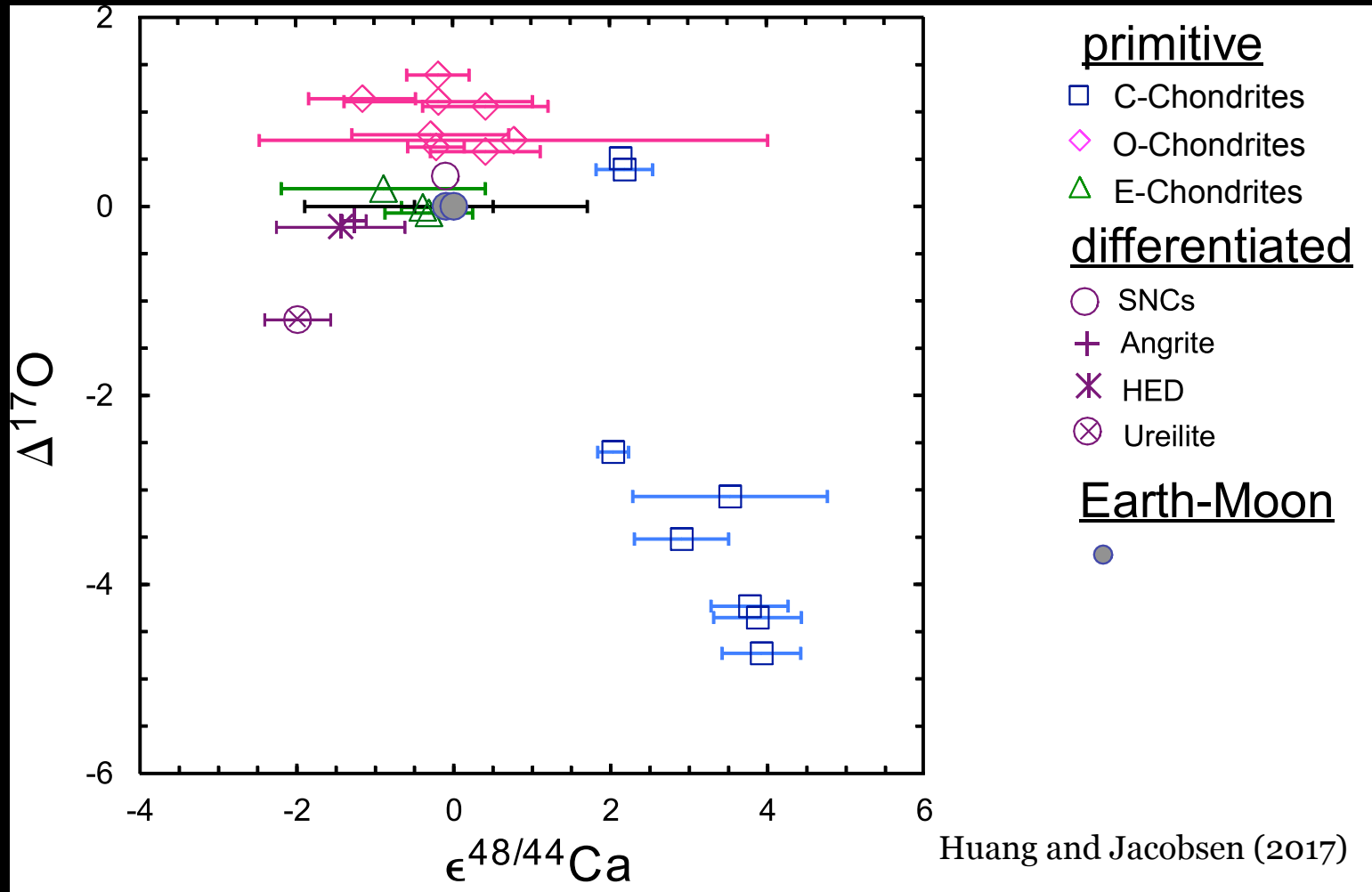
➤ ^{48}Ca 和 ^{50}Ti 异常线性相关

球粒陨石中的富中子同位素(^{48}Ca , ^{50}Ti , ^{54}Cr)异常



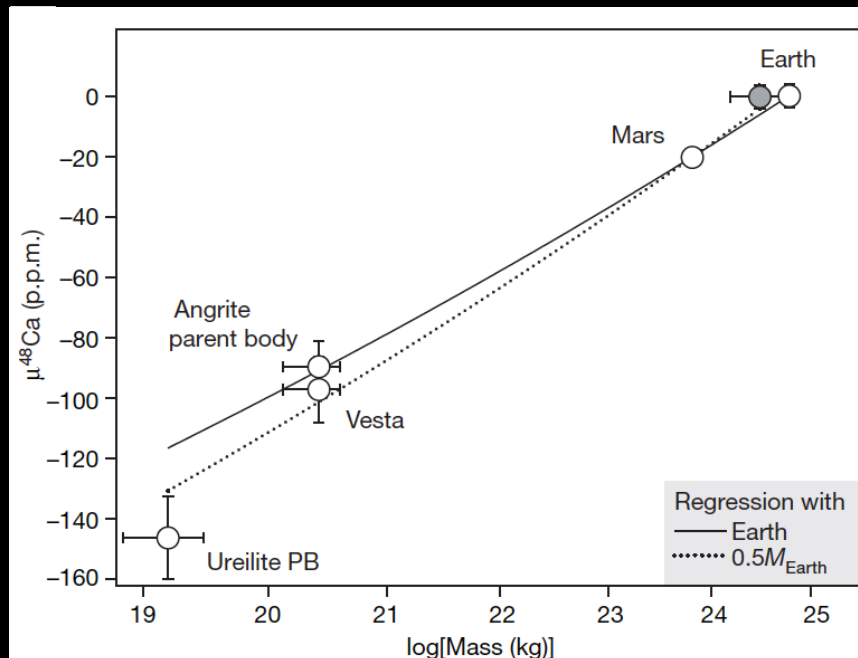
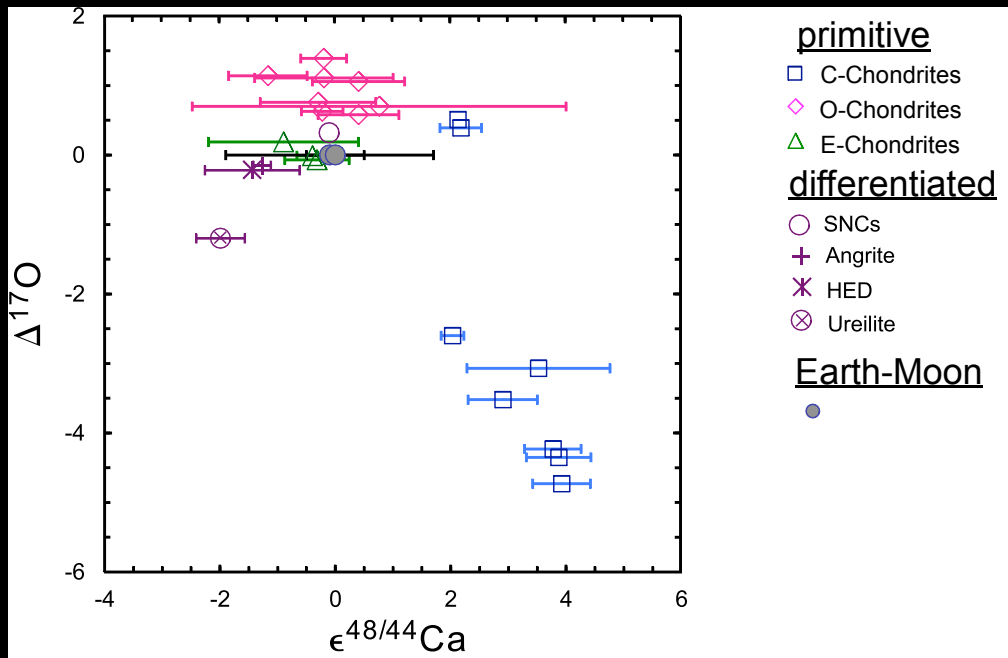
- 至少有三个端元
- 多个超新星爆发来源

陨石全岩中质量不相关钙-氧同位素异常



- ^{48}Ca 异常和 $\Delta^{17}\text{O}$ 异常的相关性
- 可能用来推测太阳系星云中 CO 自屏蔽效应 (self-shielding) 发生的时间
- 或者说, $\Delta^{17}\text{O}$ 异常来源与核合成异常 (Krot et al., 2010; Koop et al., 2016a; b)

陨石全岩中质量不相关钙-氧同位素异常

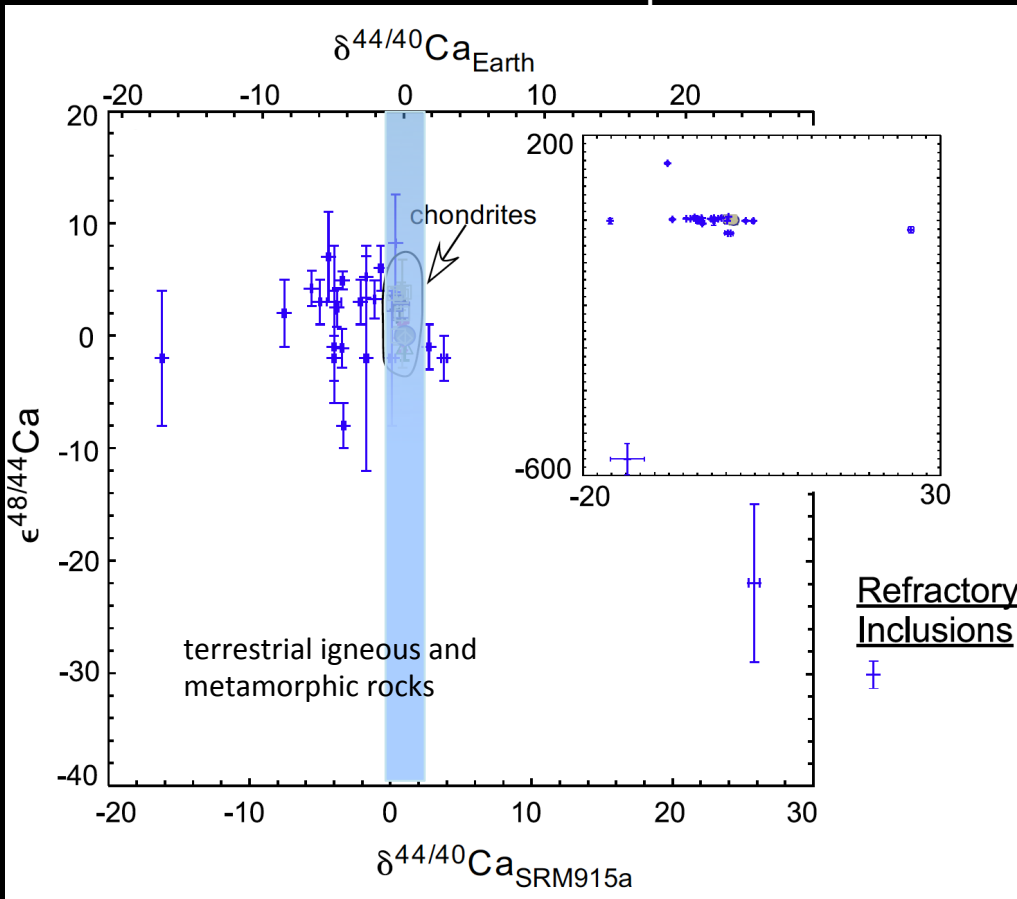


Schiller et al. (2018)

- ${}^{48}\text{Ca}$ 异常广泛地分布在太阳系内的行星中 (e.g., Lee et al., 1978; Chen et al., 2011; Huang and Jacobsen, 2017; Schiller et al., 2018)

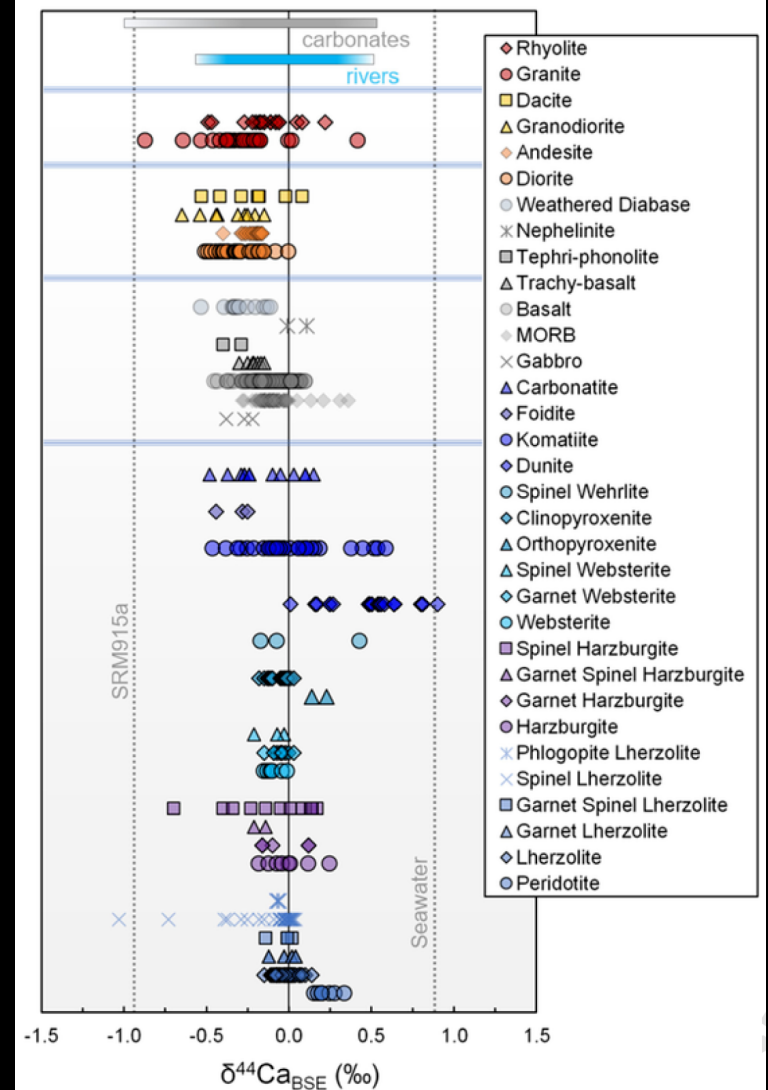
钙同位素的分馏

chondrites and their components



Huang and Jacobson (2017)

terrestrial igneous and metamorphic rocks



Antonelli and Simon (2020)

钙同位素的分馏：质量相关分馏率

isotopes i, j, k

R_{ik} : isotope ratio of i and k

$T R_{ik}$: true isotope ratio

$F R_{ik}$: fractionated isotope ratio

$$F R_{ik} / T R_{ik} = (F R_{jk} / T R_{jk})^\beta$$

$$\beta = (m_k^n - m_i^n) / (m_k^n - m_j^n)$$

m : mass of isotopes i, j, k

$n = -1$

equilibrium law

$n = +1$

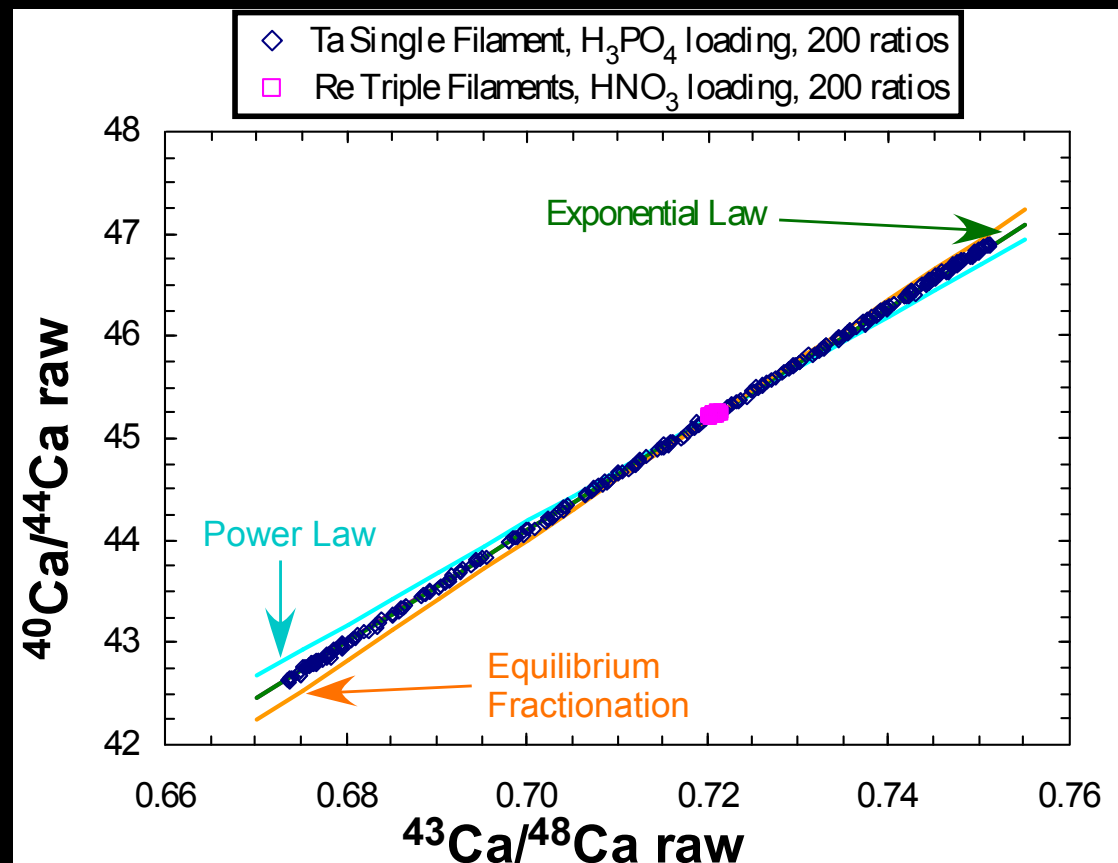
power law

$n \rightarrow 0$

exponential law

$n = -0.5$

Rayleigh law



钙同位素的分馏：瑞利分馏

isotopes i, j, k

R_{ik} : isotope ratio of i and k

$T R_{ik}$: true isotope ratio

$F R_{ik}$: fractionated isotope ratio

$$F R_{ik} / T R_{ik} = (F R_{jk} / T R_{jk})^\beta$$

$$\beta = (m_k^n - m_i^n) / (m_k^n - m_j^n)$$

m : masses of isotopes i, j, k

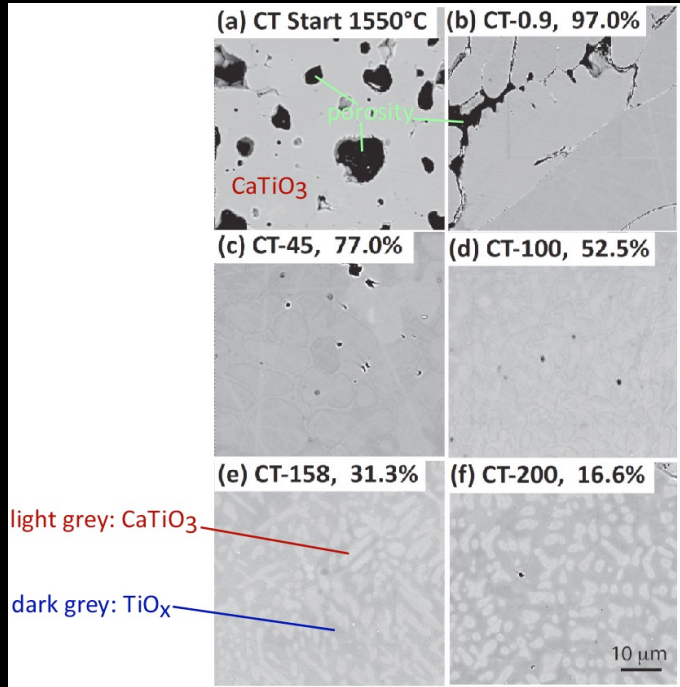
$$n = -0.5$$

Rayleigh law

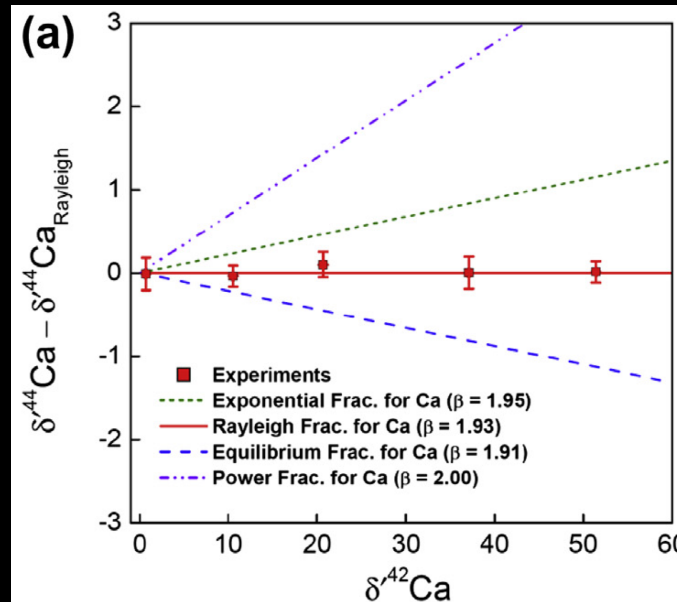
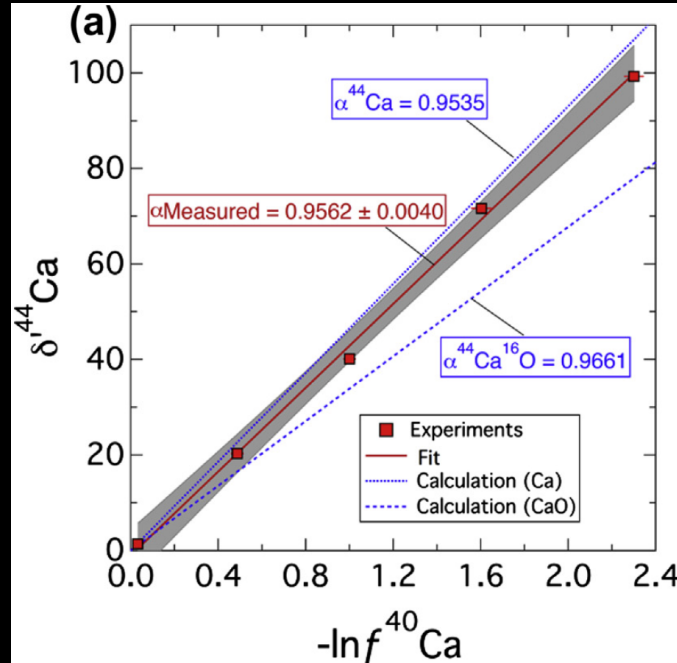
- 开放体系
- 反应生成物形成后，马上离开体系
- $R_{ik}/R_{ik,o} = f^{\alpha ik-1}$
- $f = 0-1$, 残余量
- $\alpha ik = (m_k/m_i)^{0.5}$

- 考虑三个同位素（两个同位素比值） R_{ik}, R_{jk}
- $R_{ik}/R_{ik,o} = f^{\alpha ik-1}$
- $R_{jk}/R_{jk,o} = f^{\alpha jk-1}$
- $R_{ik}/R_{ik,o} = (R_{jk}/R_{jk,o})^\beta$
- $\beta = (\alpha ik-1)/(\alpha jk-1) = (m_k^{0.5} - m_i^{0.5})/(m_k^{0.5} - m_j^{0.5})$

高温蒸发过程中钙同位素的分馏



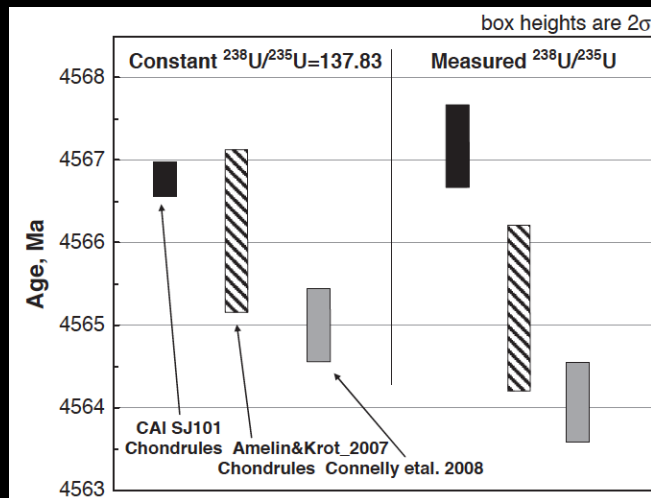
- 初始材料: CaTiO_3 钙钛矿
- 真空炉内 $2005\text{ }^\circ\text{C}$ 下蒸发 (钙钛矿的熔点是 $\sim 1975\text{ }^\circ\text{C}$)
- 非常大的钙同位素分馏
- 蒸发残留物含重钙
- 符合瑞利分馏关系: $R_{ik}/R_{ik,o} = f^{(ak-1)}$
- 蒸发种类: 单原子Ca



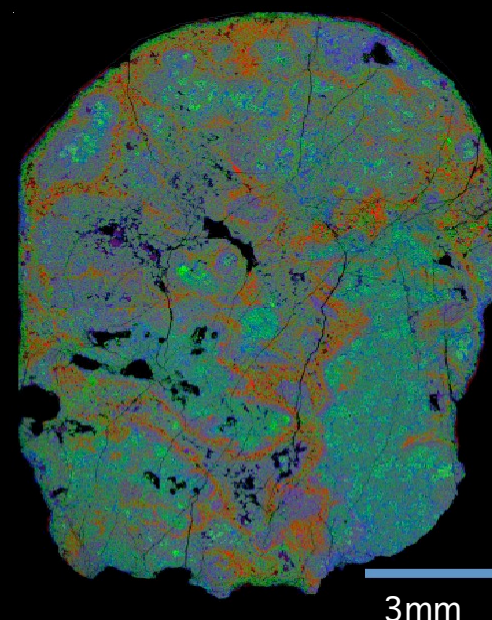
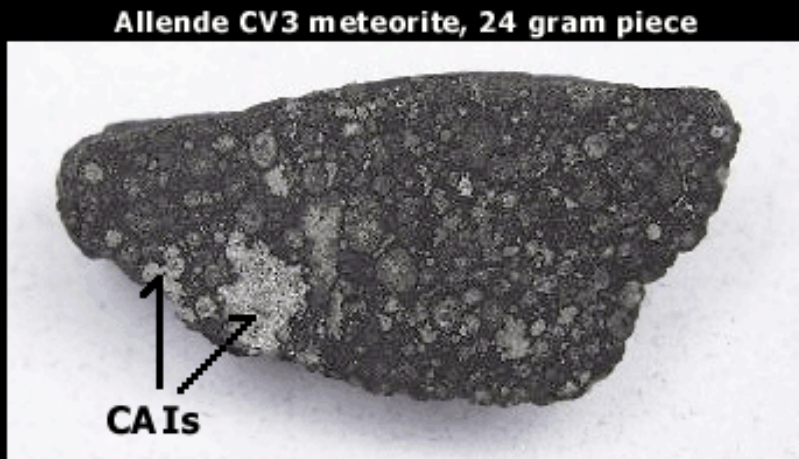
Davis et al. (1995)
Zhang et al. (2014)

钙同位素的分馏：来自难熔包裹体的故事

- 球粒陨石没有经历过母天体的熔融分异，代表了太阳系的原始成分
- 球粒陨石内的难熔包裹体包括富钙富铝包裹体（CAIs）和蠕虫状橄榄石集合体（AOAs）：太阳系内最老的固体

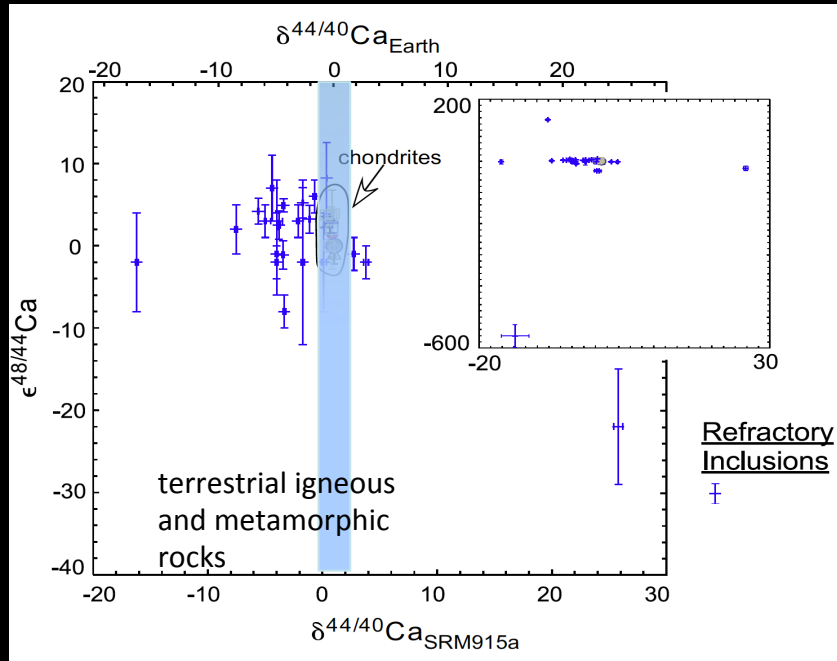


Amelin et al. (2010)

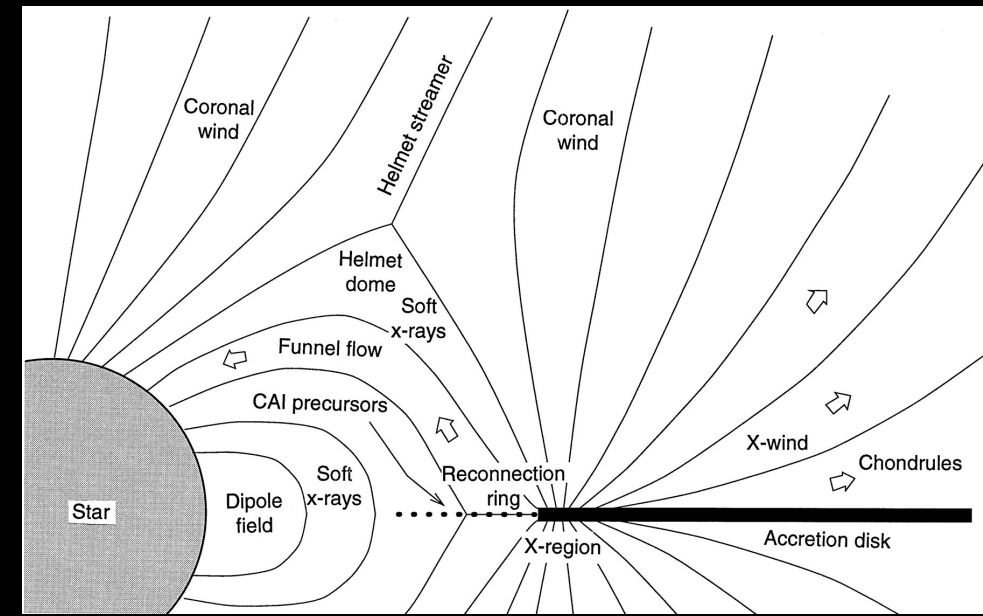


难熔包裹体的钙同位素变化

chondrites and their components



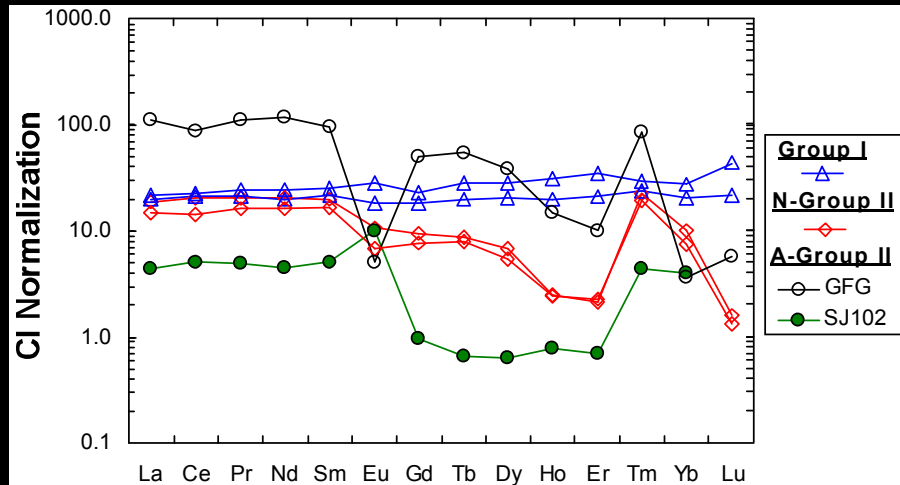
Huang and Jacobsen (2017)



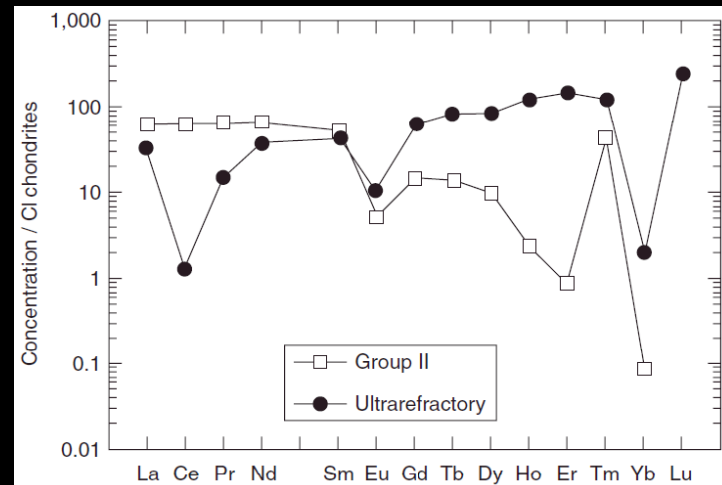
Shu et al. (1997)

- x-wind model for refractory inclusion formation: 高温低压
- 绝大多数难熔包裹体的钙同位素偏轻
- 为什么？

难熔包裹体的稀土元素分布模式



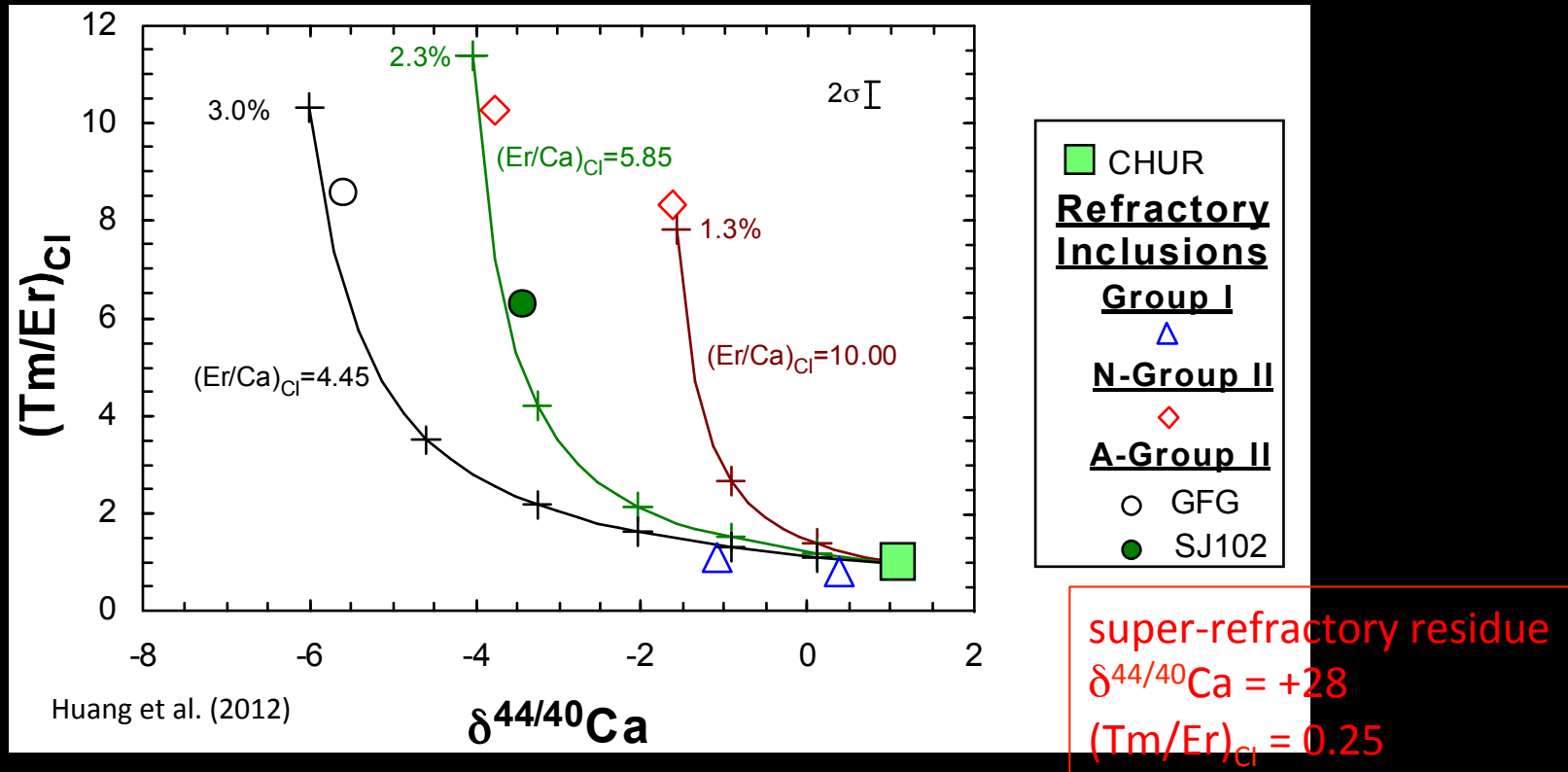
Huang et al., 2012



Macpherson, 2004

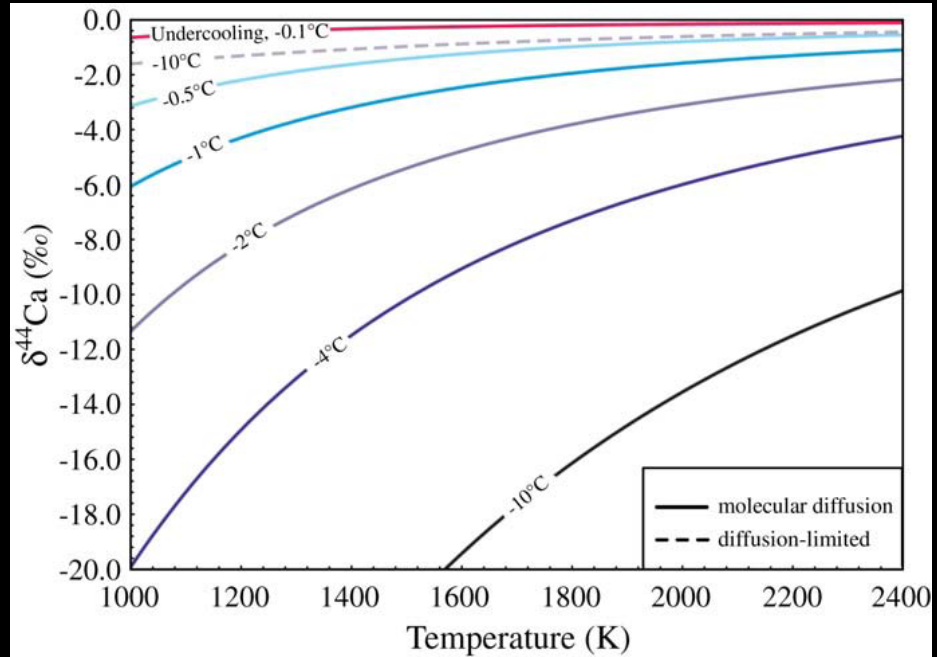
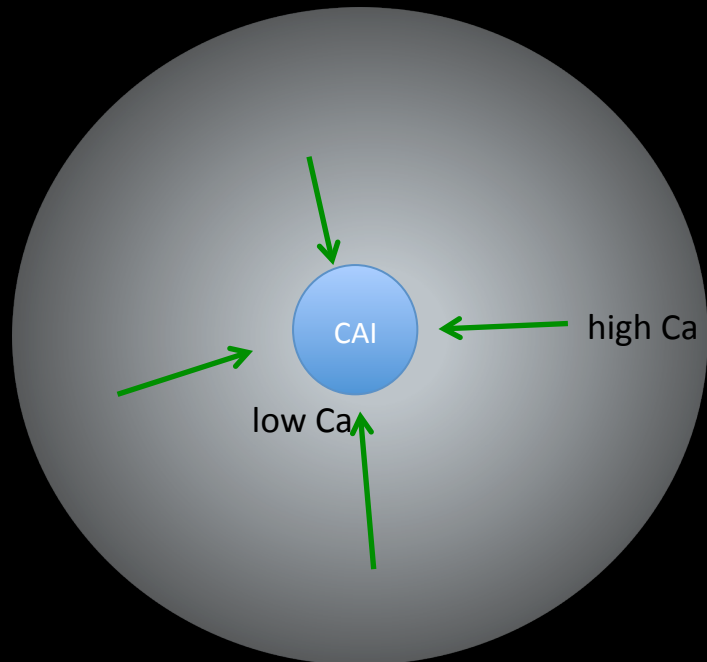
- 太阳系内最老的固体
- 其成因很太阳系早期星云内的蒸发和凝结过程相关
- 不同的稀土元素分馏分布模式
 - ❖ **Group I:** 水平
 - ❖ **Group II:** 正Tm异常, 高Tm/Er
 - ❖ 超难熔 (**Ultrarefractory**) : 和 **Group II** 互补(低Tm/Er), 非常罕见

难熔包裹体中 $\delta^{44/40}\text{Ca}$ - $(\text{Tm}/\text{Er})_{\text{Cl}}$ 的相关性



- $\delta^{44/40}\text{Ca}$ 和 $(\text{Tm}/\text{Er})_{\text{Cl}}$ 负相关
- 有Group II稀土元素分布模式的难熔包裹体有更低的 $\delta^{44/40}\text{Ca}$
- 高温蒸发后的残余物（super-refractory residue）应该有高 $\delta^{44/40}\text{Ca}$ 和低 $(\text{Tm}/\text{Er})_{\text{Cl}}$ 值，和难熔包裹体的特征相反
- 从一个具有球粒陨石特征的储库中分离出去高温蒸发后的残余物后，可以得到观察到的低 $\delta^{44/40}\text{Ca}$ -高 $(\text{Tm}/\text{Er})_{\text{Cl}}$ 特征

难熔包裹体的钙同位素变化: super cooling

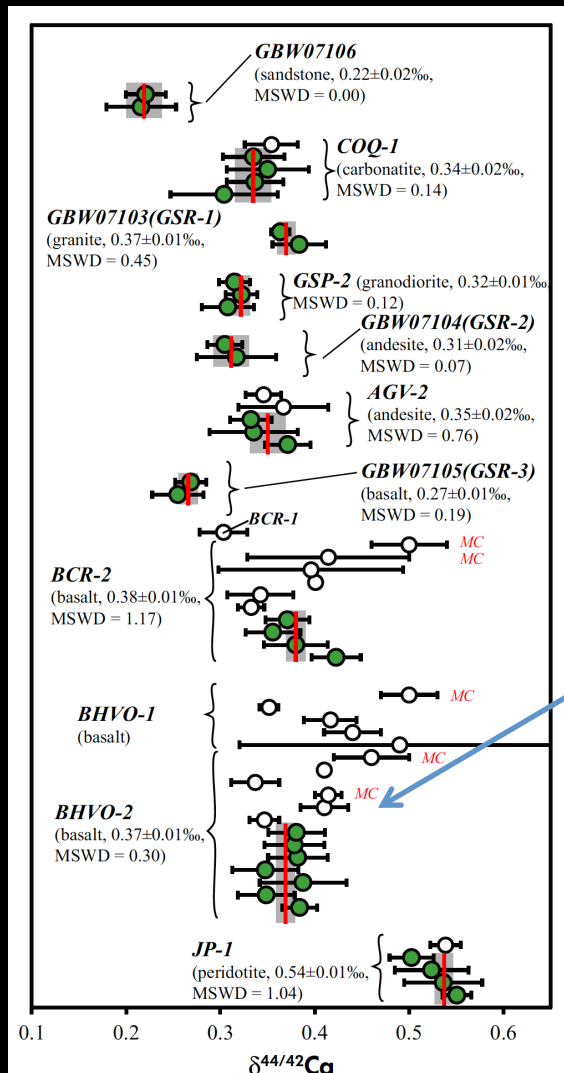


Simon and DePaolo (2010)

- 难熔包裹体在过冷 (super cooling) 的太阳系星云中凝结出来
- 动力学效应 (kinetic isotope effect) : Ca diffusion in the solar nebula

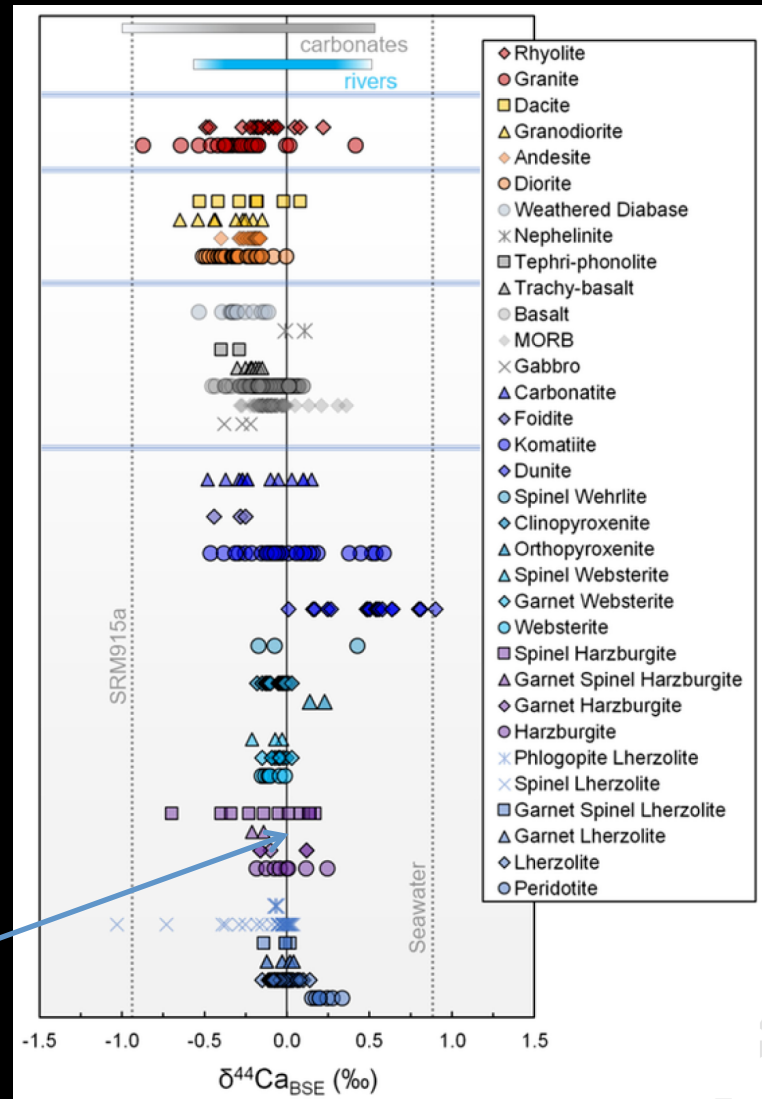
钙同位素的分馏

terrestrial igneous and metamorphic rocks
2‰ variation in $\delta^{44/40}\text{Ca}$



inter-lab difference:
0.2 in $\delta^{44/40}\text{Ca}$

$$\delta^{44/40}\text{Ca}_{915a} = 0.95$$

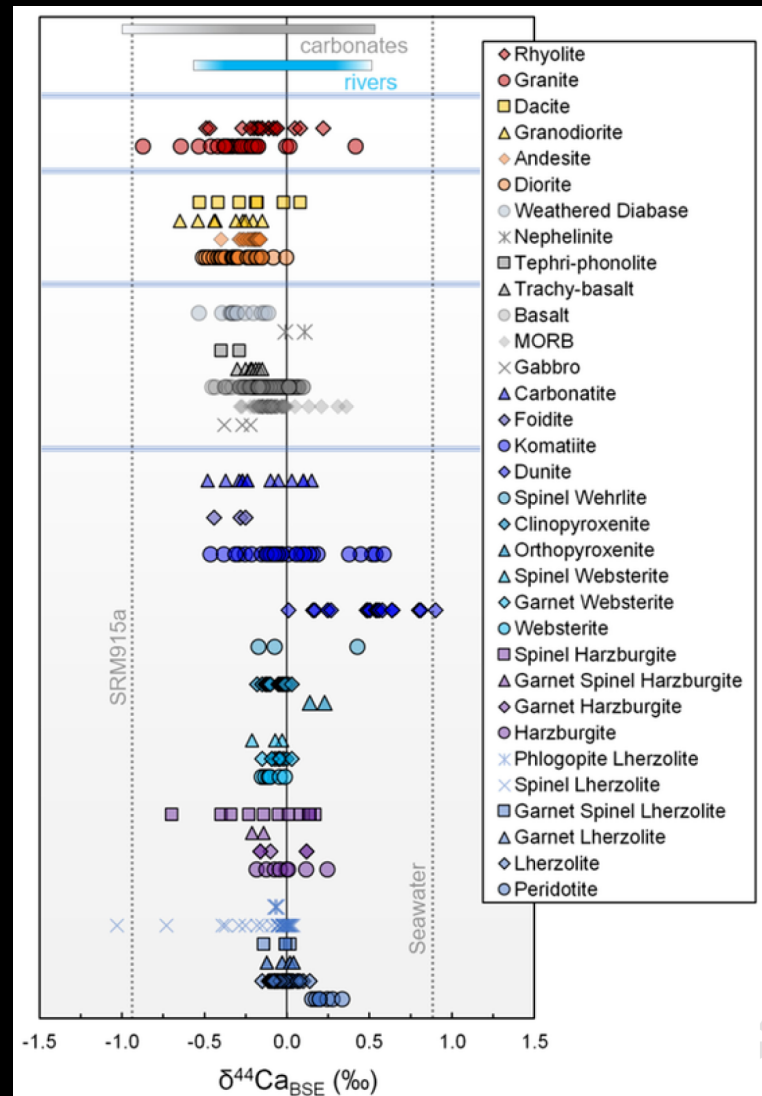


钙同位素的分馏

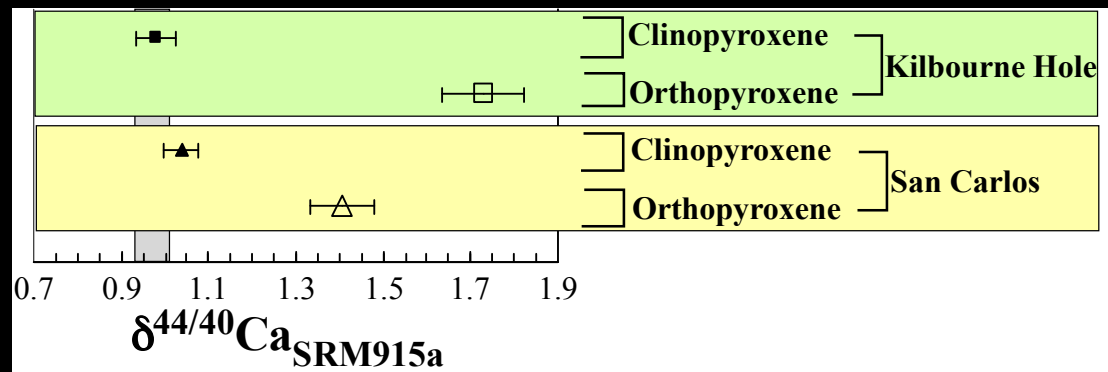
terrestrial igneous and metamorphic rocks
2‰ variation in $^{44}/^{40}\text{Ca}$

- condensation/evaporation
- inter-mineral fractionation
- partial melting / crystal fractionation
- recycling of surface material
- Soret effect: thermal diffusion
- chemical diffusion

- 凝结和蒸发
- 矿物间分馏
- 部分熔融和结晶分异
- 表层物质再循环
- 热扩散: Soret effect:
- 化学扩散

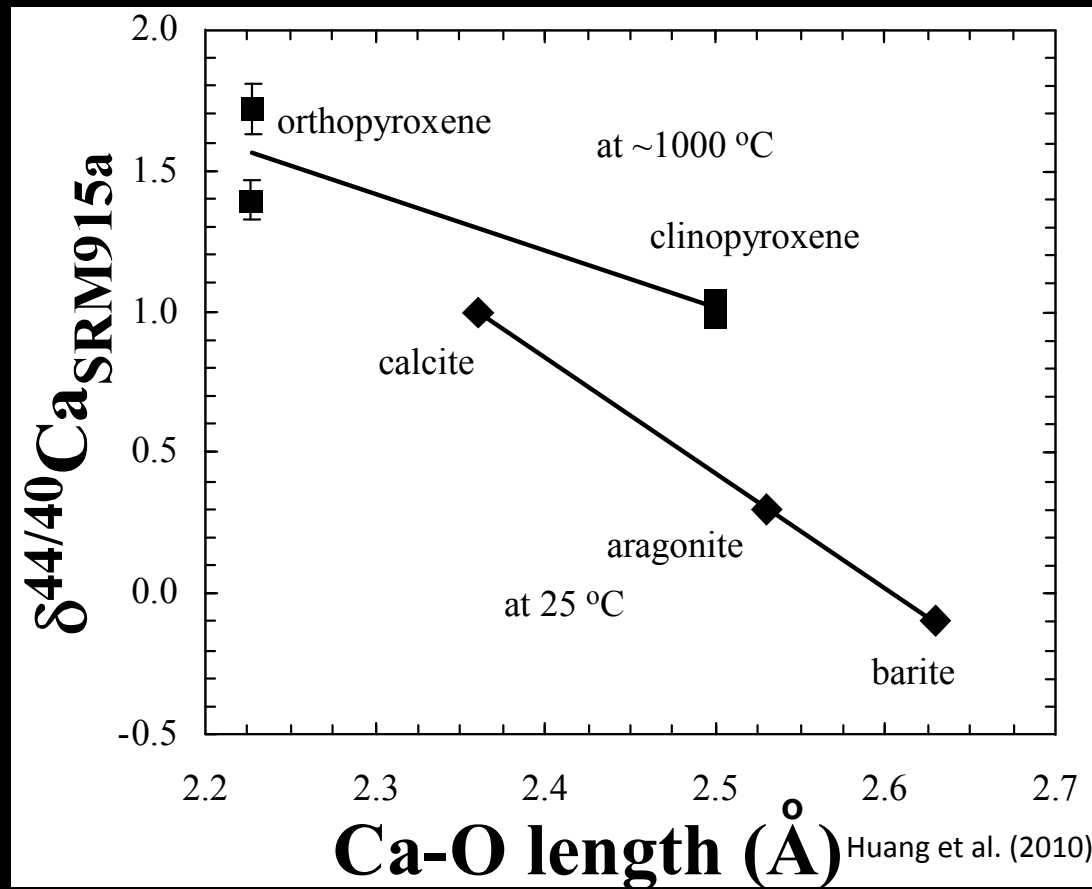


钙同位素在辉石间的分馏: 观察和第一性原理计算结果



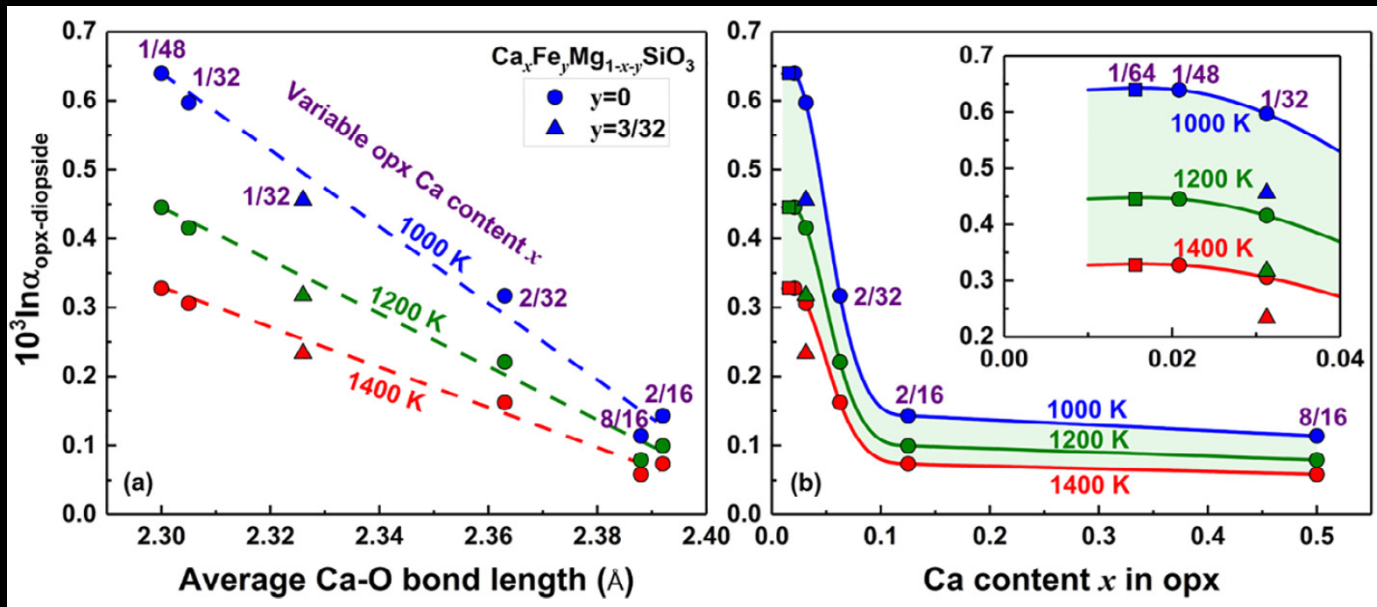
- 尖晶石相橄榄岩: olivine, orthopyroxene, clinopyroxene, spinel
- Ca isotopic measurement of orthopyroxene-clinopyroxene pairs from Kilbourne Hole and San Carlos spinel peridotites

矿物间的钙同位素分馏与Ca-O键长的关系

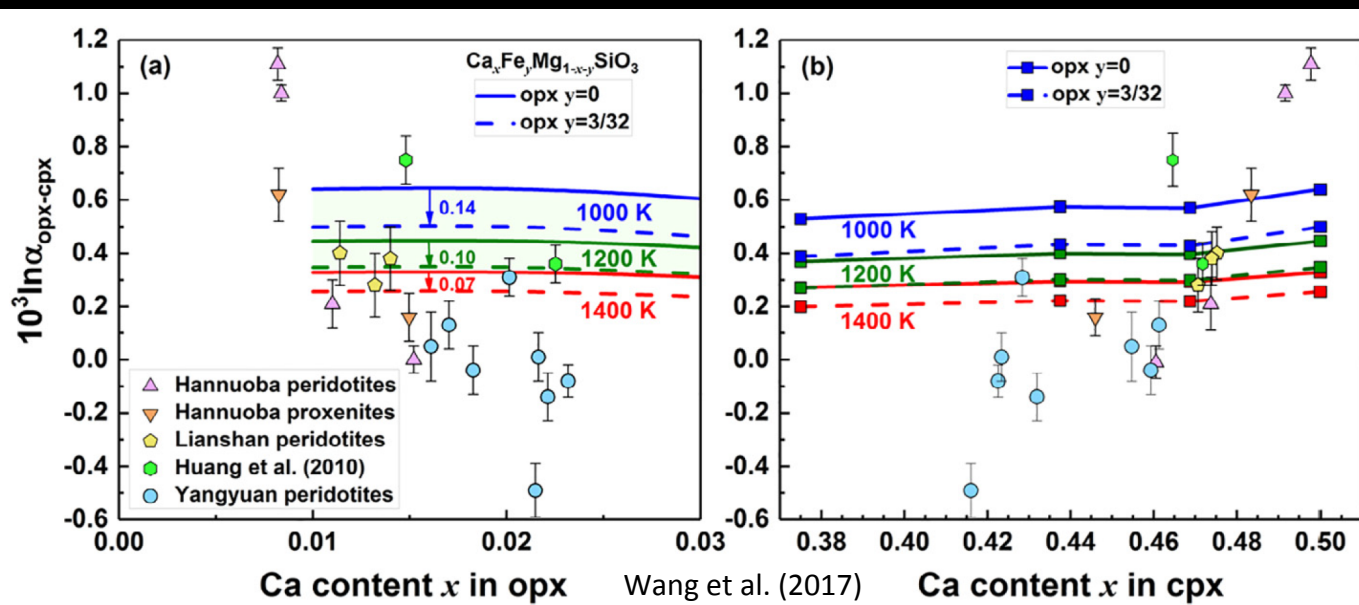


- Ca isotopic fractionation between CPX-OPX is comparable to low T inter-mineral fractionation
- Ca isotopic fractionation between minerals is controlled by their Ca-O bond lengths: mineral with shorter Ca-O bond tends to have heavier Ca isotopes

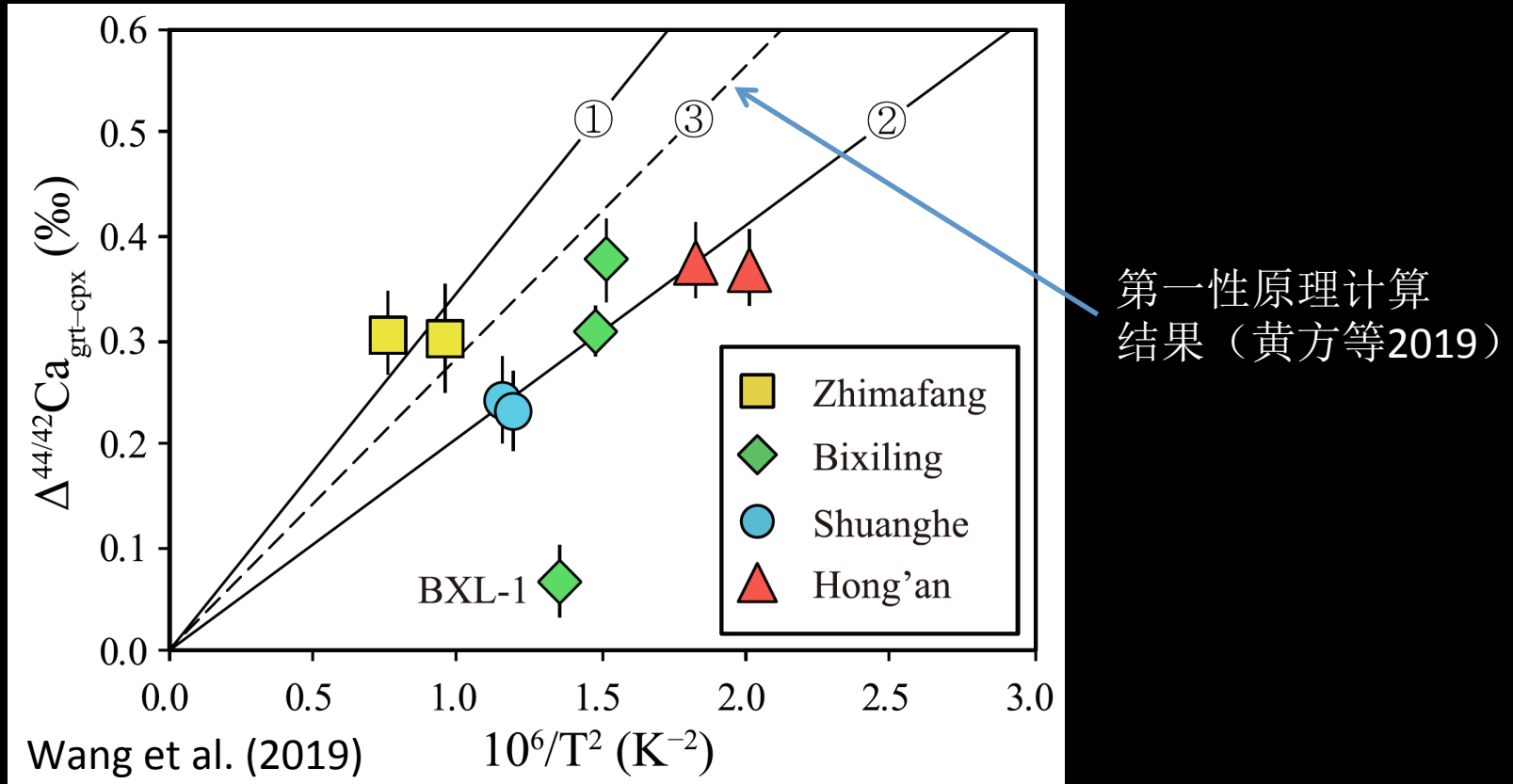
矿物间钙同位素分馏和矿物成份的关系



- 平衡分馏
- ❖ 浓度效应?
- 动力学分馏?
- 更多见王文忠博士的报告



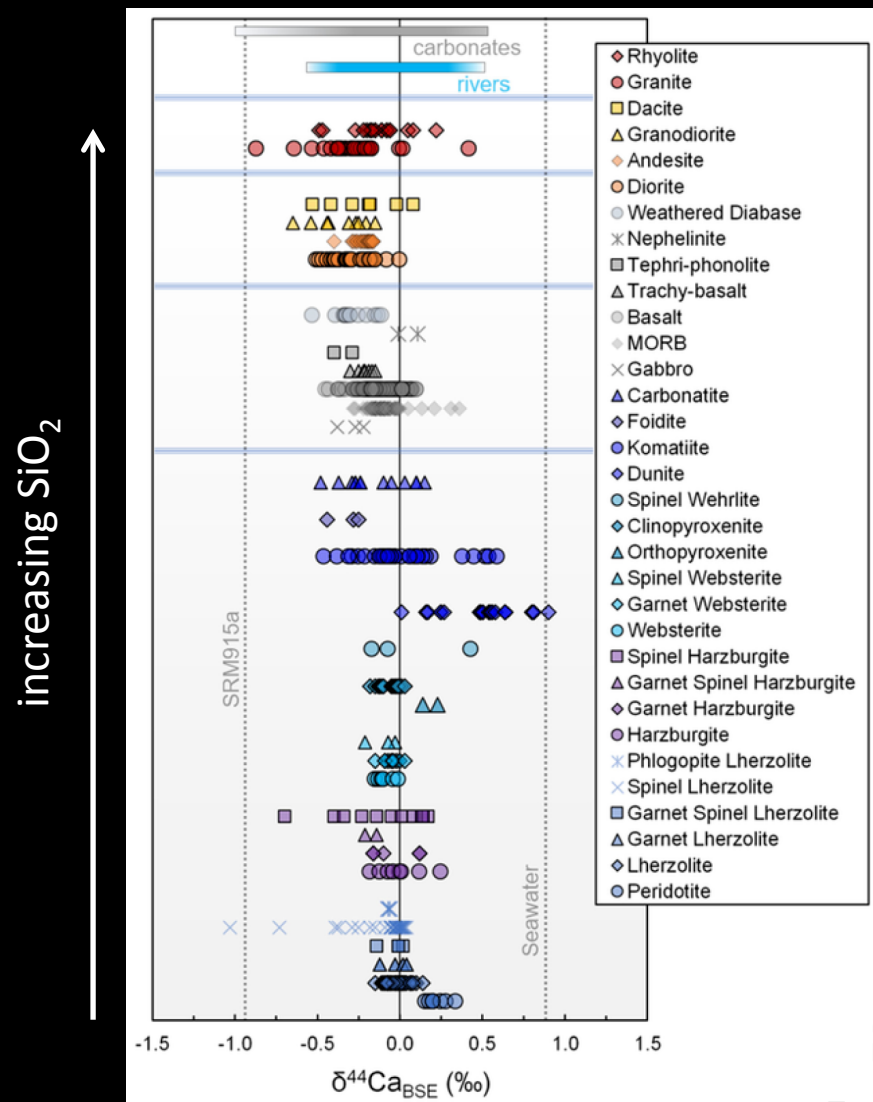
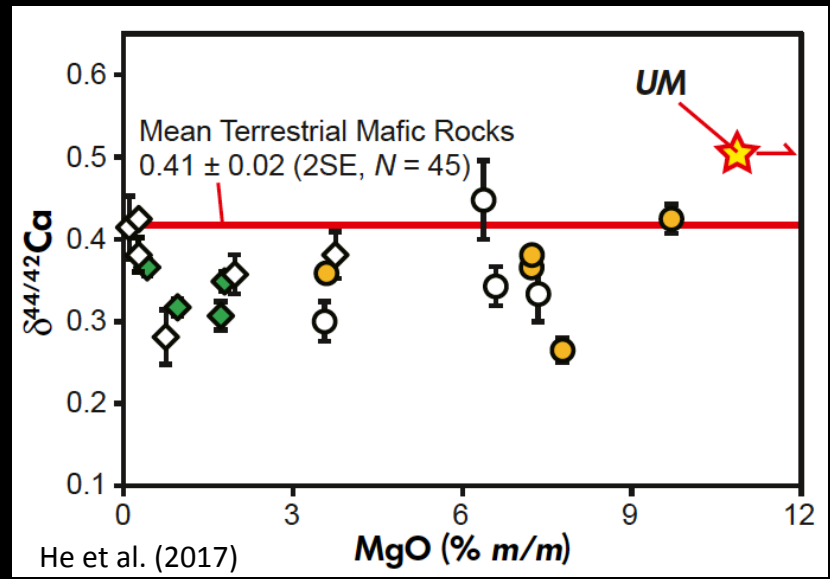
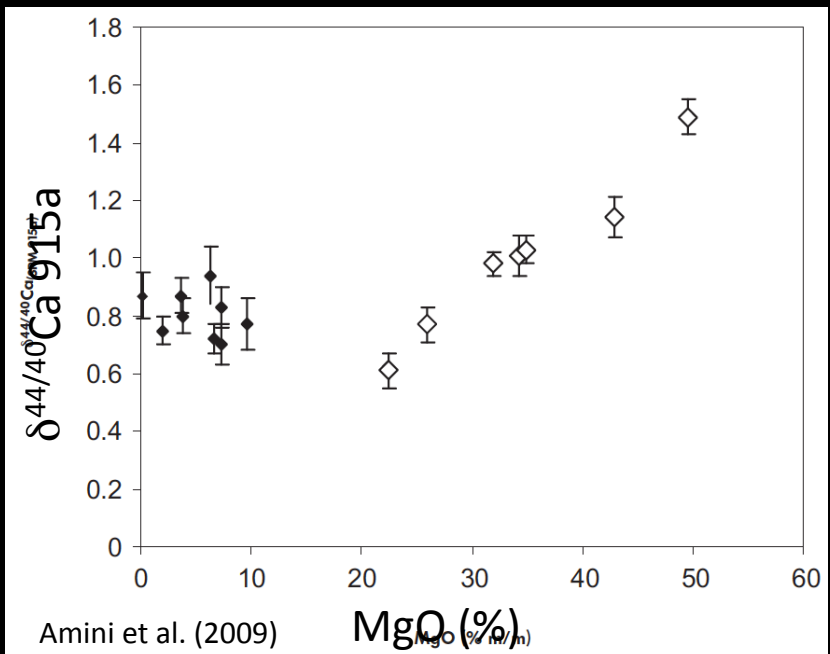
石榴子石和单斜辉石间的钙同位素分馏



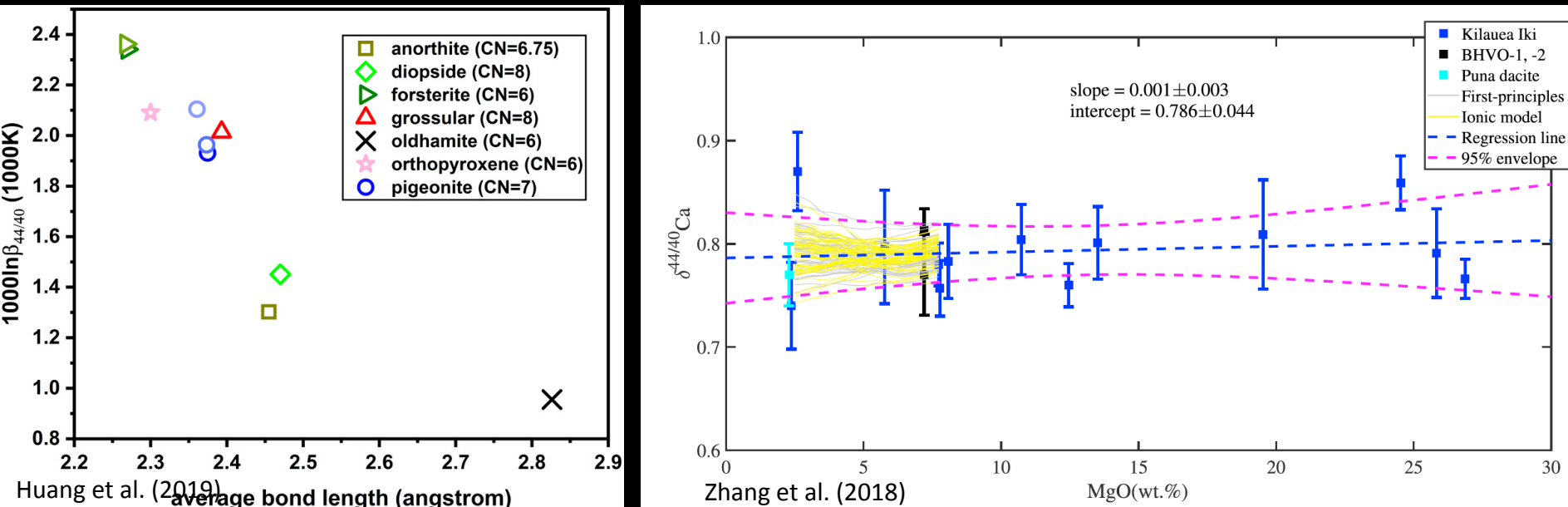
- 石榴子石比单斜辉石更重

钙同位素的分馏: 部分熔融效应

terrestrial igneous and metamorphic rocks
2‰ variation in $^{44}/^{40}\text{Ca}$



钙同位素的分馏：矿物-熔体的分馏系数



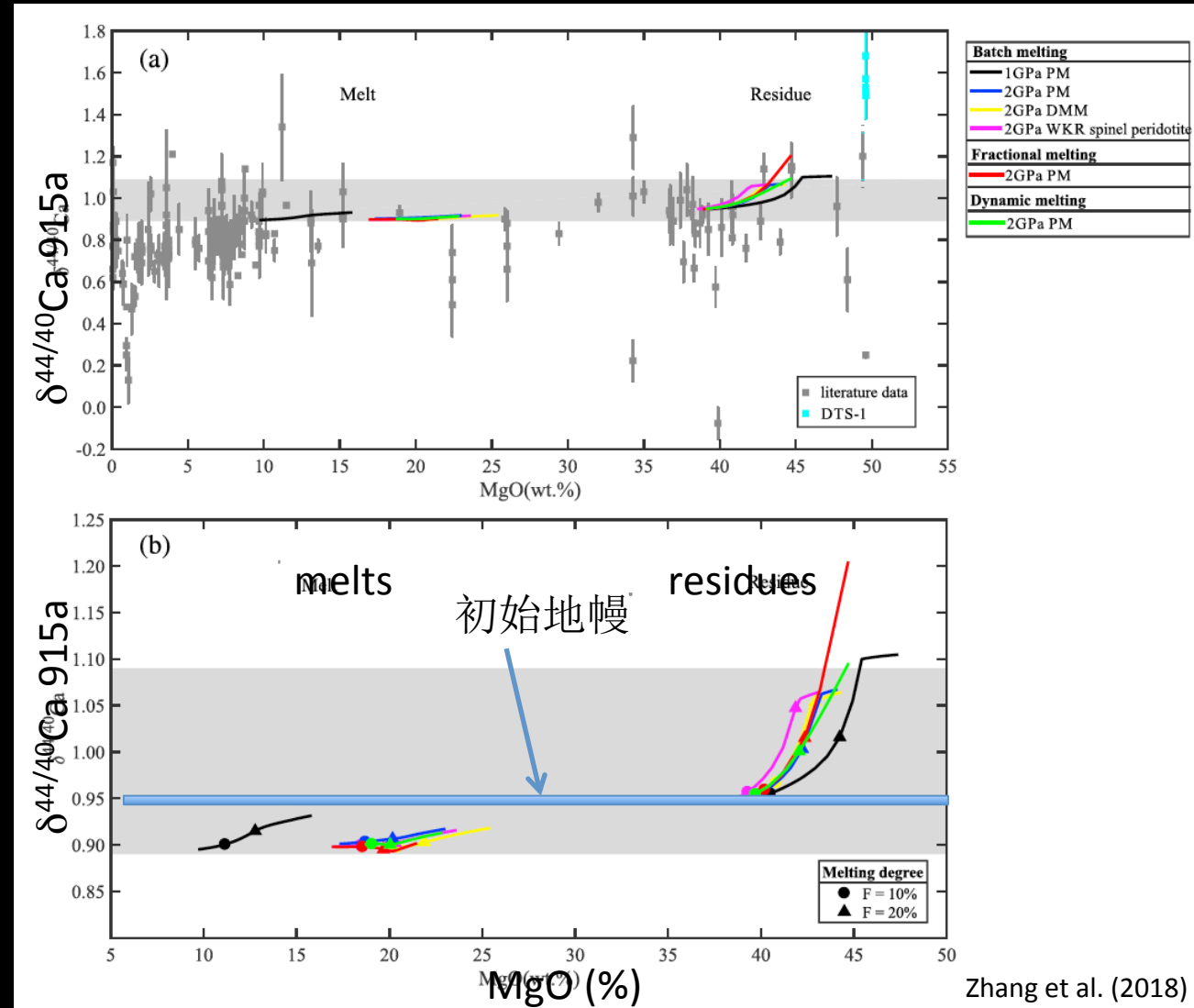
Estimated Mineral-Melt Ca Fractionation Factors

Minerals	Formula	a					
		First principles	2 SD	Ionic model	2 SD	Average	2 SD
Clinopyroxene	$\text{Ca}_{15/32}\text{Mg}_{17/32}\text{SiO}_3$	0.07	0.05	0.11	0.05	0.09	0.07
Plagioclase	$\text{CaAl}_2\text{Si}_2\text{O}_8$	-0.12	0.06	-0.17	0.07	-0.15	0.08
Pigeonite	$\text{Ca}_{1/8}\text{Mg}_{7/8}\text{SiO}_3$	0.49	0.08	0.39	0.07	0.44	0.13
Orthopyroxene	$\text{Ca}_{1/32}\text{Fe}_{3/32}\text{Mg}_{7/8}\text{SiO}_3$	0.49	0.08	0.55	0.08	0.52	0.10

$$\Delta^{44/40} \text{Ca}_{\text{mineral-melt}} = a / (T/1,000)^2, \text{ where } T \text{ is the temperature in kelvin.}$$

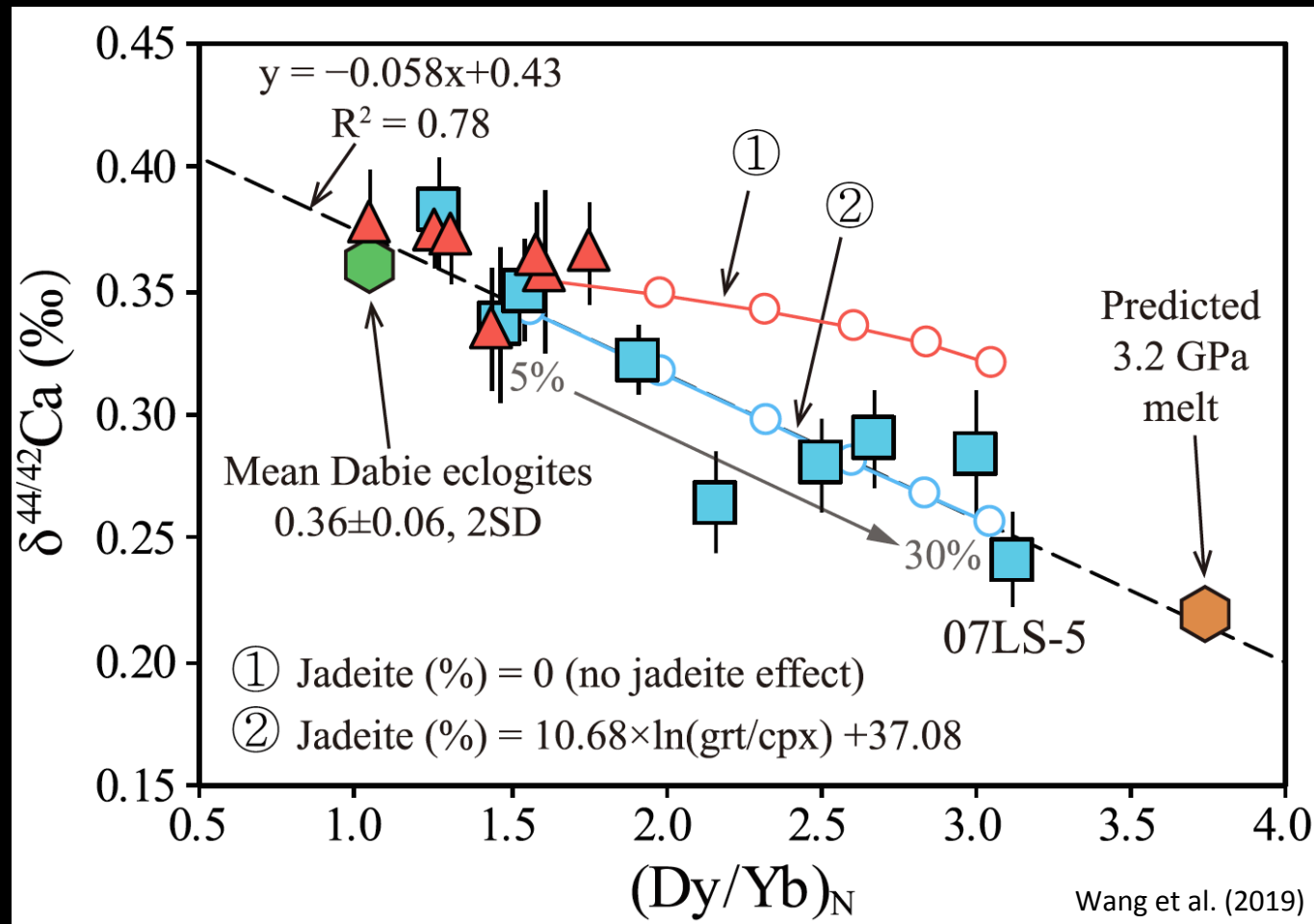
- 矿物间的分馏系数：first principles calculations（大多数来自USTC, UCLA）
- 斜长石，单斜辉石与熔体的分馏系数：Kilauea Iki lava series（Zhang et al., 2018）

钙同位素的分馏: spinel peridotite部分熔融



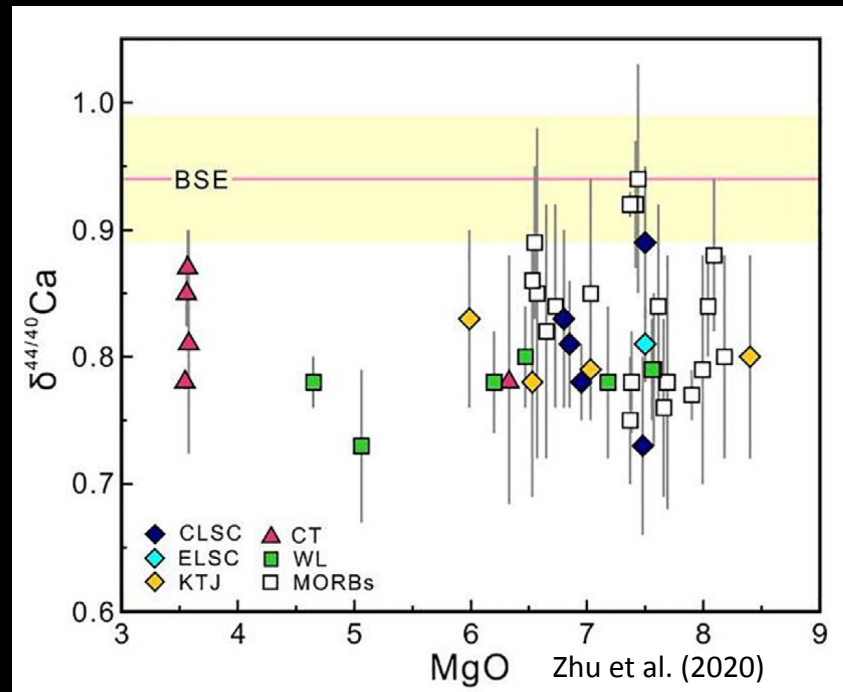
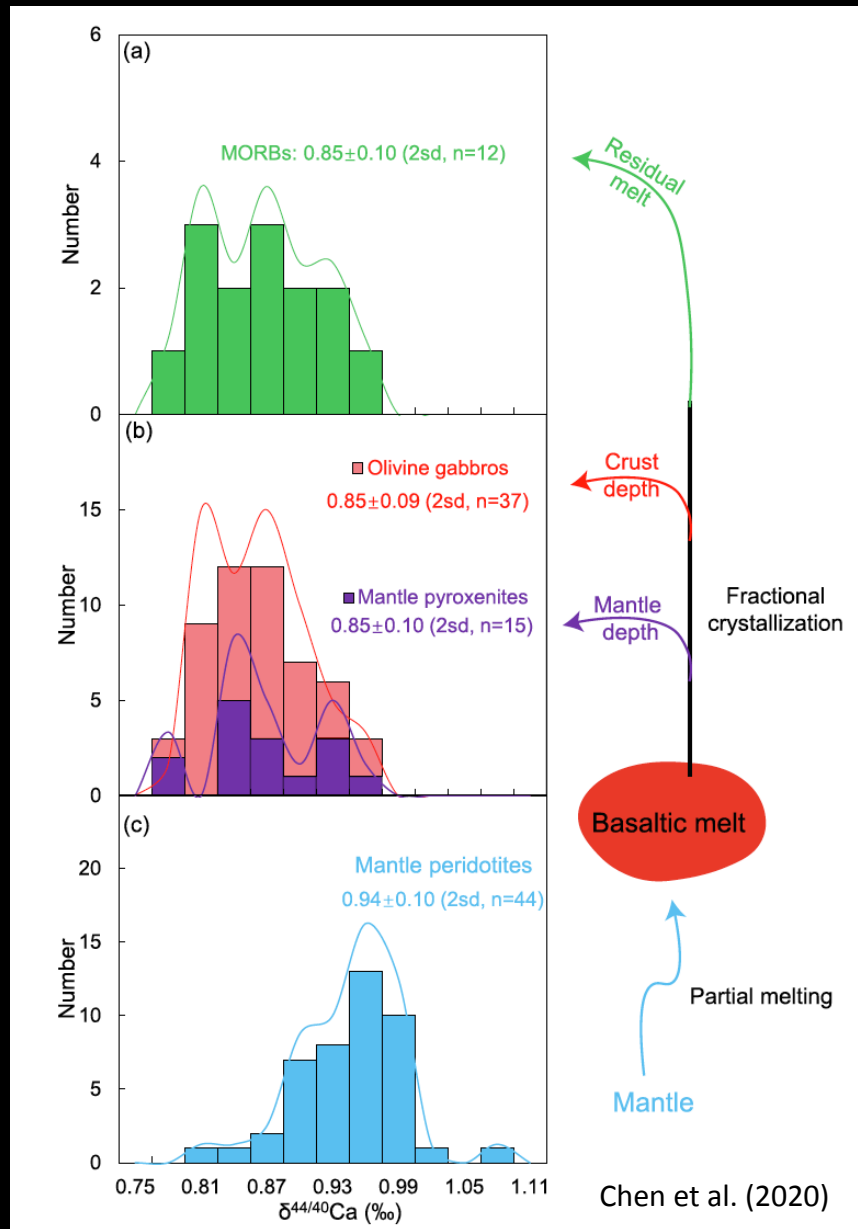
- 熔体偏轻: 最大的 $\delta^{44/40}\text{Ca}$ 效应将近0.06
- 残余偏重: 最大的 $\delta^{44/40}\text{Ca}$ 效应将近0.3

钙同位素的分馏: garnet pyroxenite部分熔融



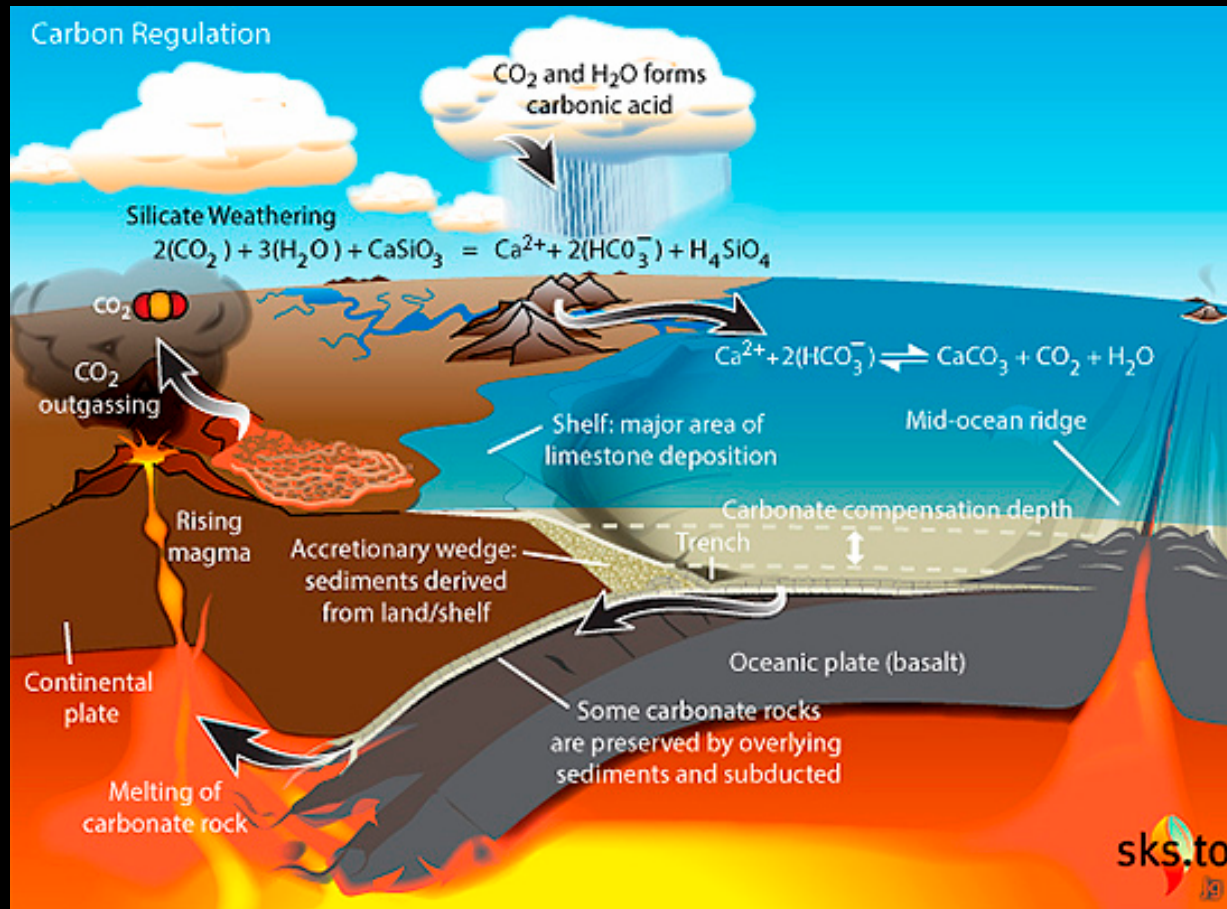
➤ 熔体最大的 $\delta^{44/40}\text{Ca}$ 效应 > 0.2

钙同位素的分馏：大洋玄武岩偏轻



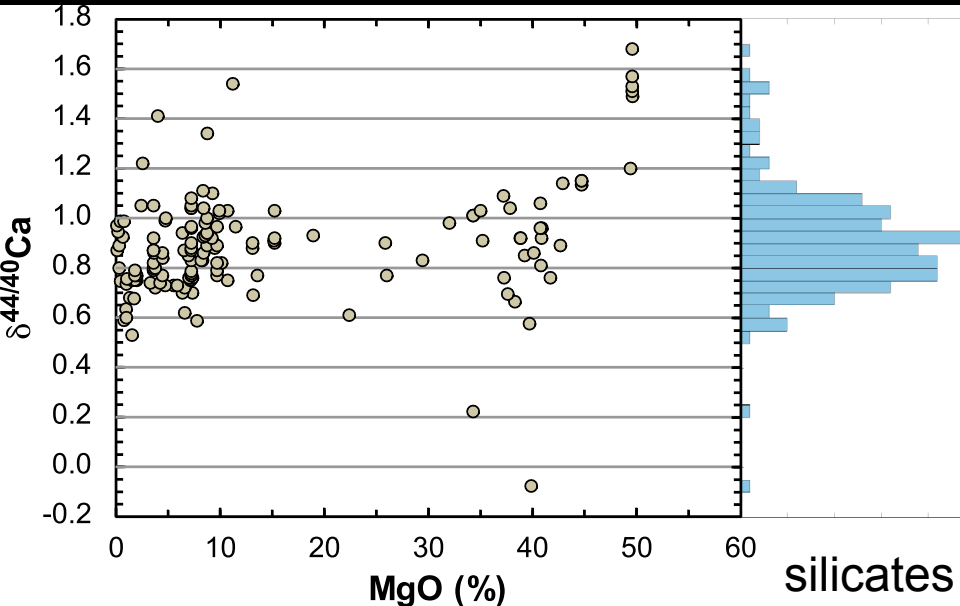
- 部分熔融效应（更多见汪在聰教授的报告）
- 再循环碳酸盐
- 残留石榴子石效应
(Hirschmann and Stolper, 1996; Donnelly et al., 2004; Yang et al., 2020)

碳酸盐再循环：钙同位素的证据

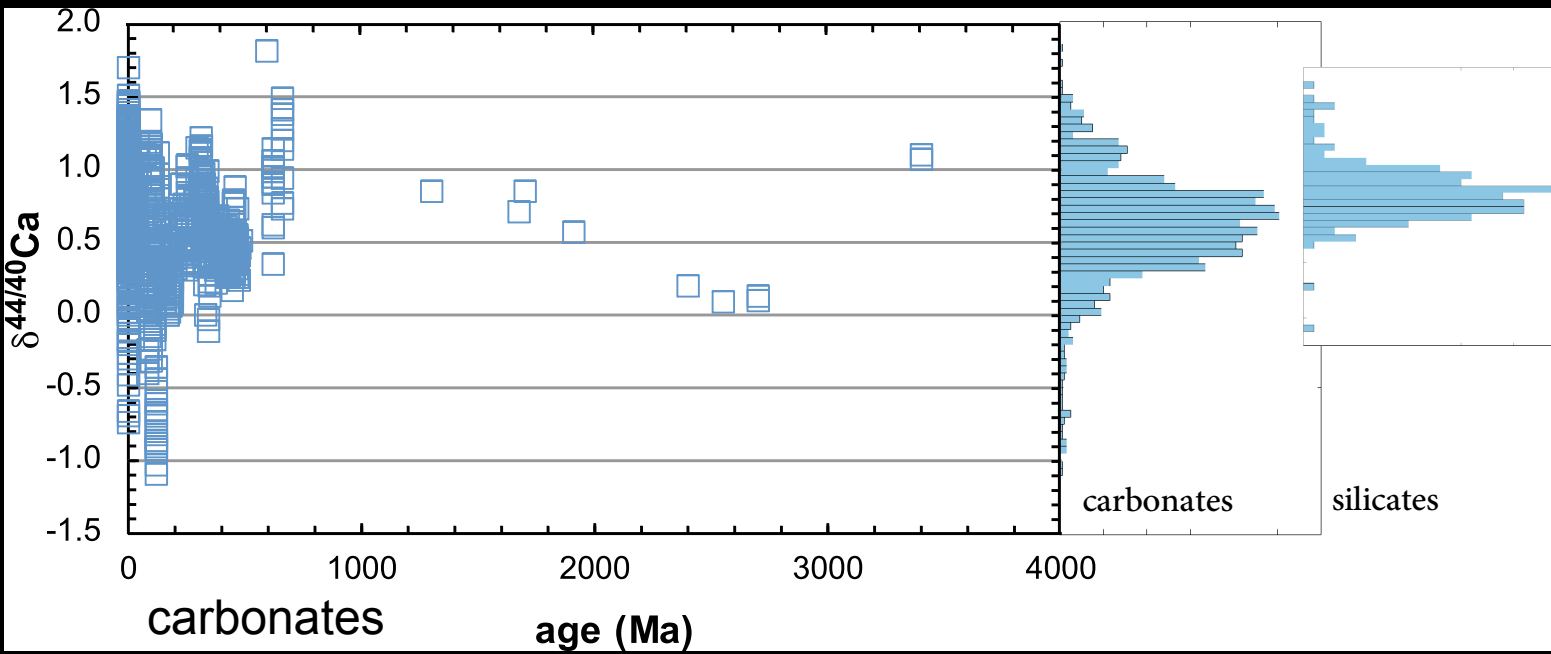


- 钙循环是碳循环的重要组成

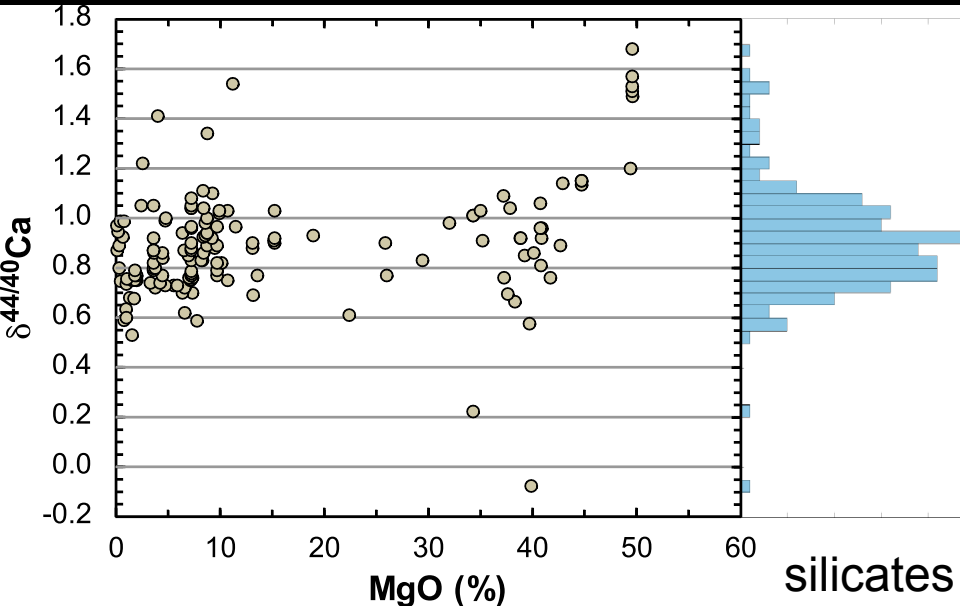
硅酸盐和碳酸盐中的钙同位素组成



❖ 碳酸盐总体比硅酸盐偏轻

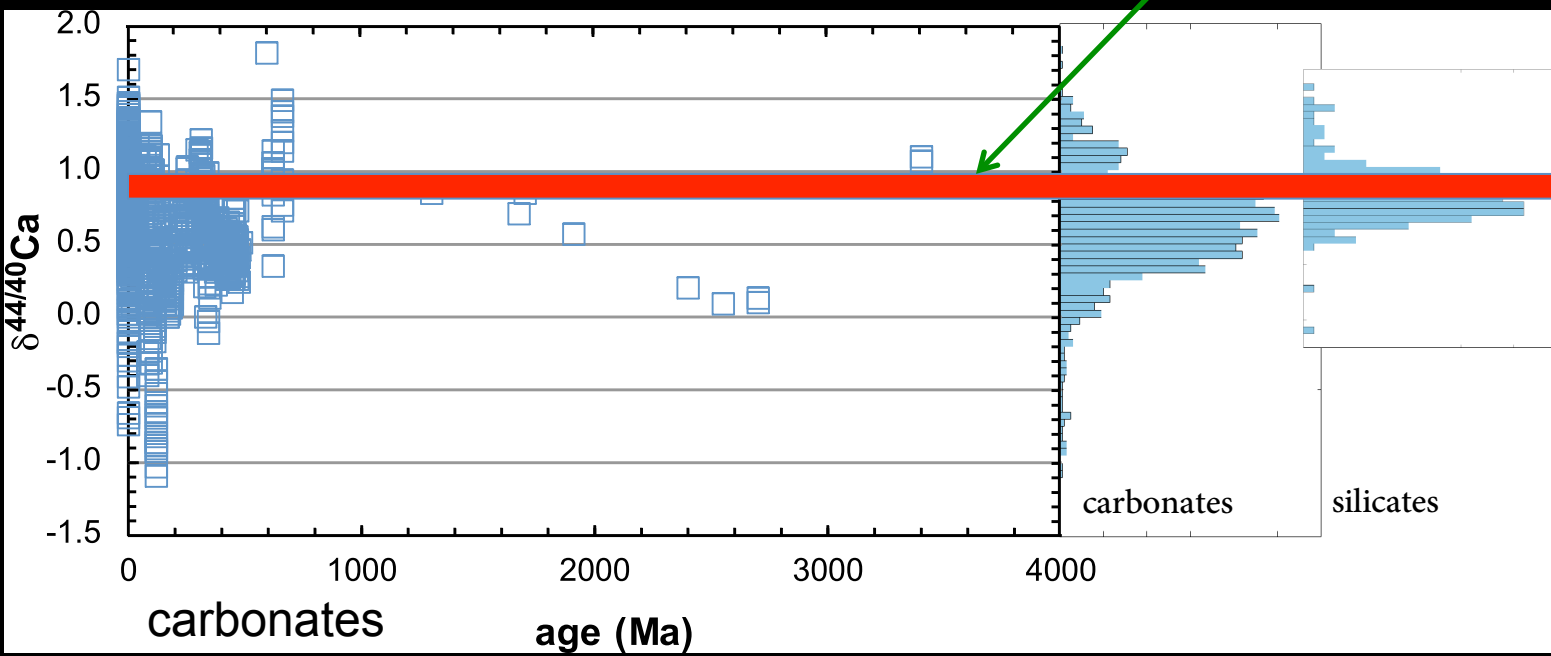


硅酸盐和碳酸盐中的钙同位素组成

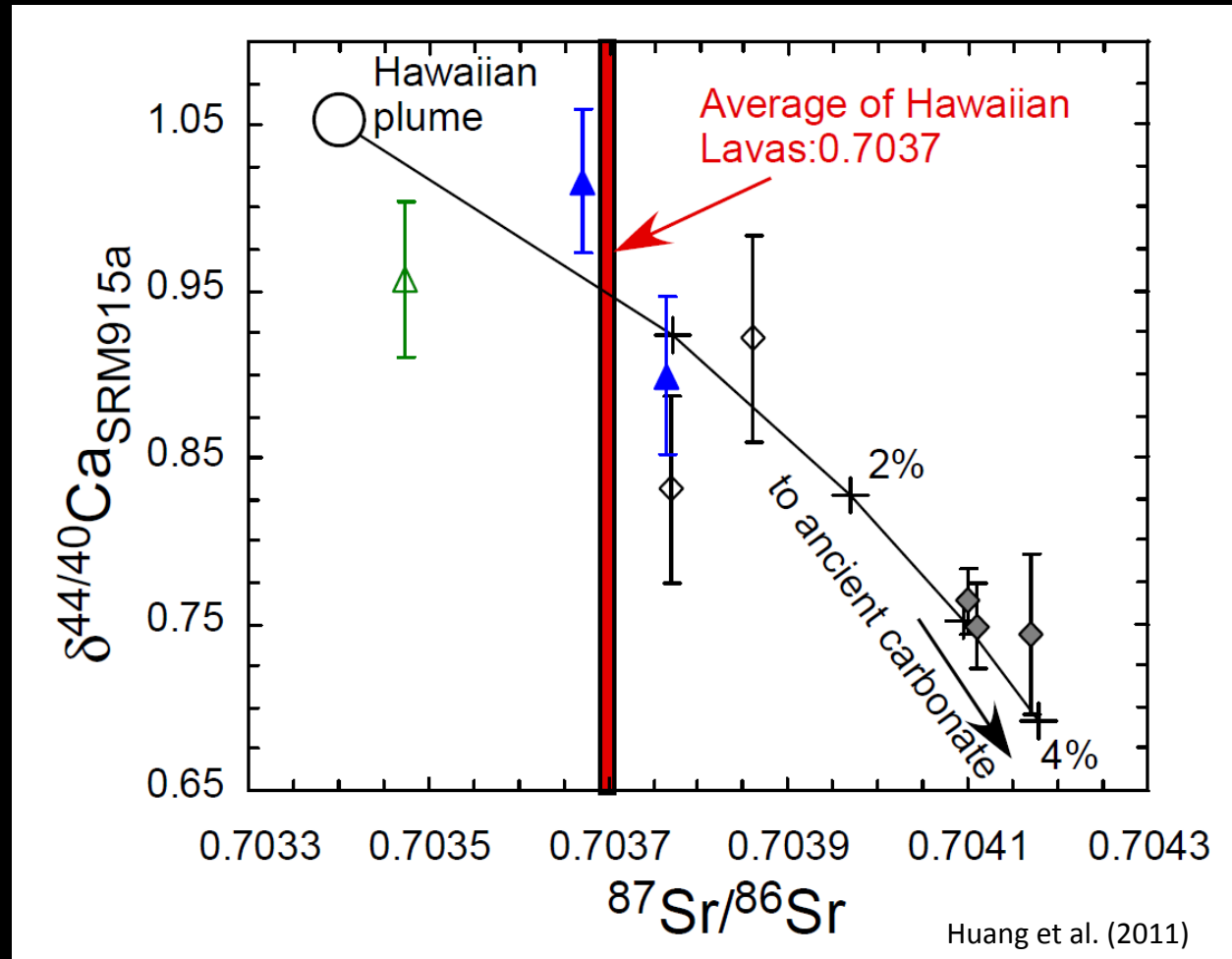


❖ 碳酸盐总体比硅酸盐偏轻

平均硅酸盐（地幔值？）

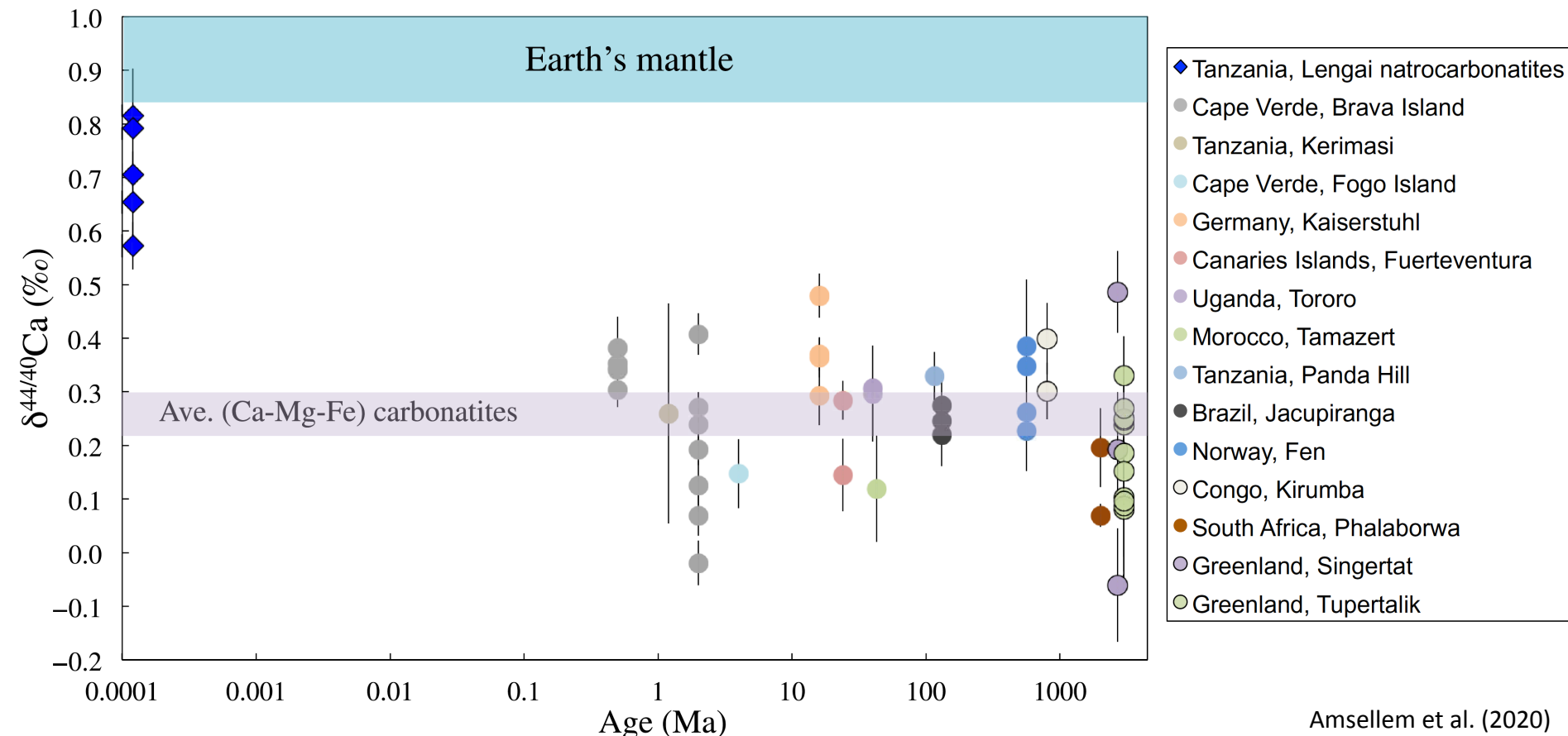


夏威夷地幔柱中再循环碳酸盐的信号



- 0.8% ancient carbonate in the Hawaiian plume
- Estimated CO_2 emission rate: $3 \times 10^8 \text{ kg CO}_2 \text{ per year}$
- Direct measurement: $0.2 \times 10^8 \text{ kg CO}_2 \text{ per year}$ at Mauna Loa (Ryan, 2001)

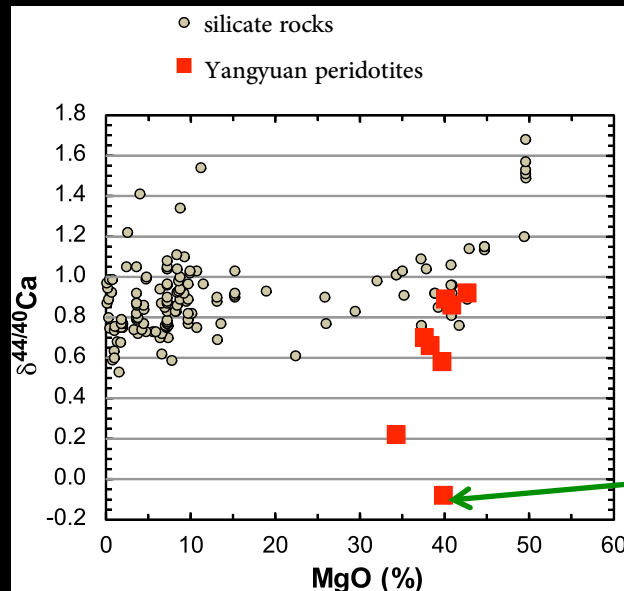
火成碳酸岩中再循环碳酸盐的信号



- 古老的火成碳酸盐的钙同位素偏轻
- 其地幔源区含有大量再循环碳酸盐

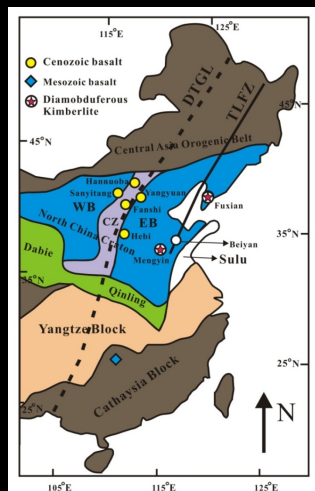
Amsellem et al. (2020)

太阳系内的钙同位素变化

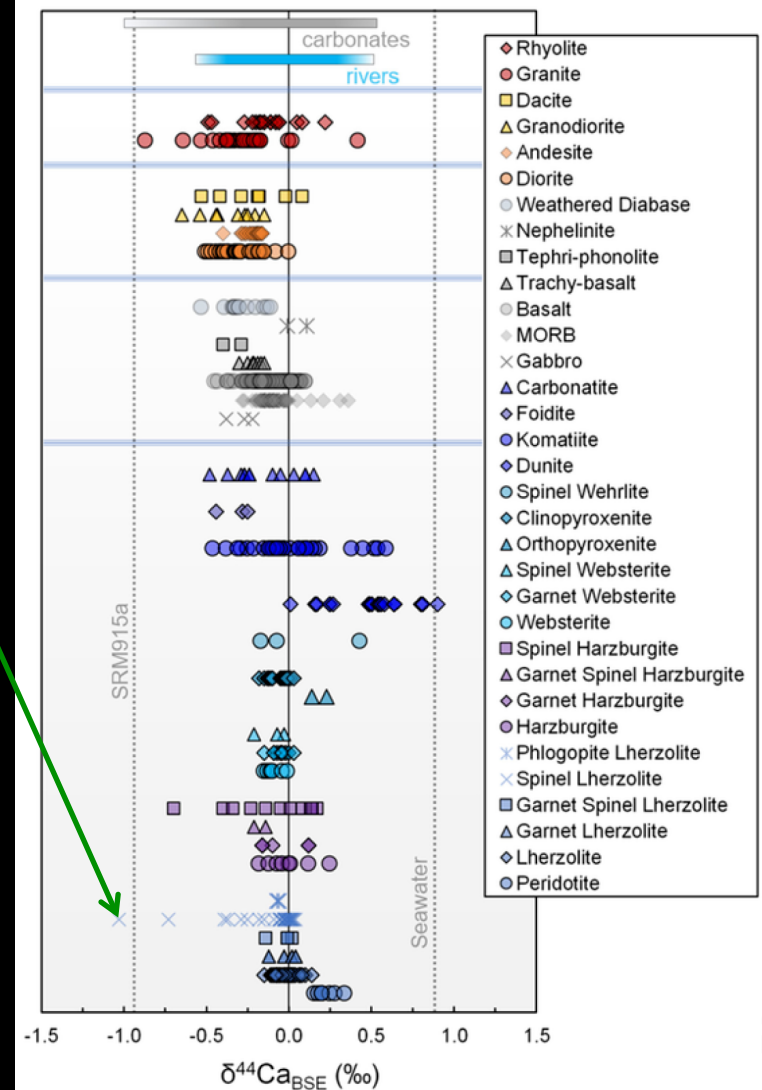


Zhao et al. (2017)

- 阳原富铁橄榄岩有硅酸盐中最低的 $\delta^{44/40}\text{Ca}$

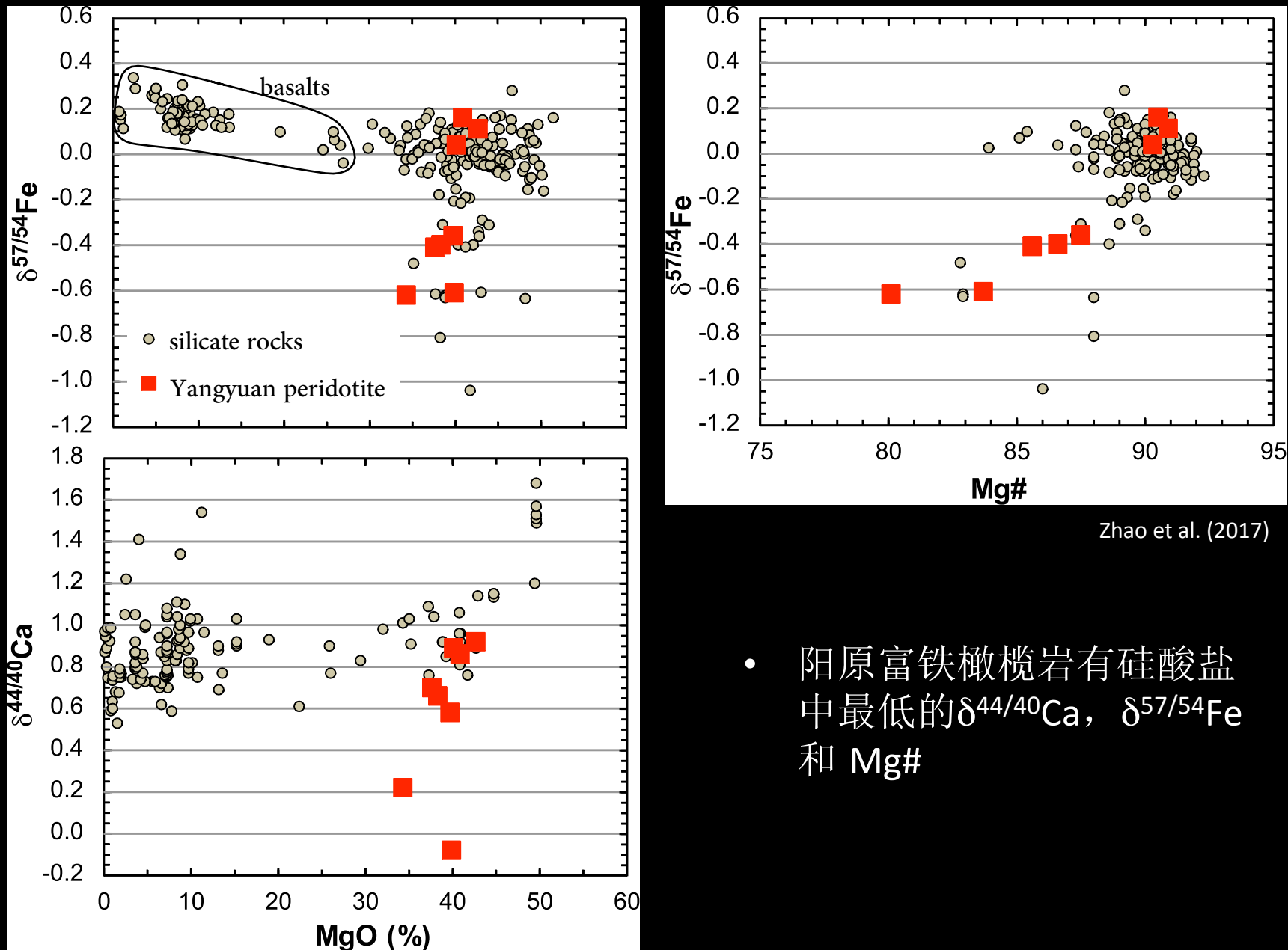


terrestrial igneous and metamorphic rocks

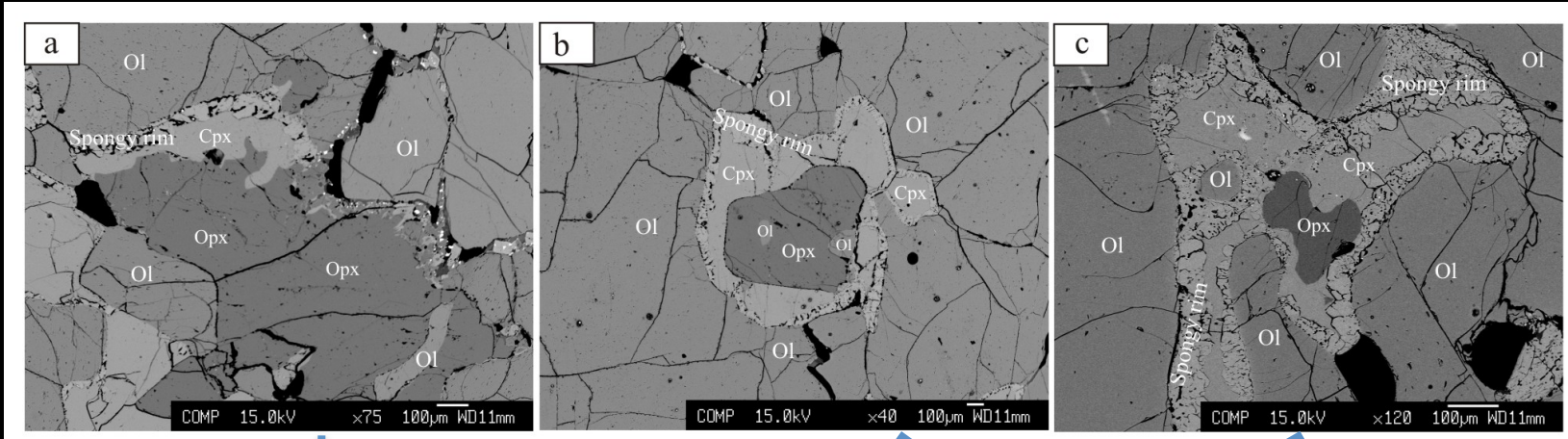


Antonelli and Simon (2020)

阳原富铁橄榄岩的钙铁同位素组成



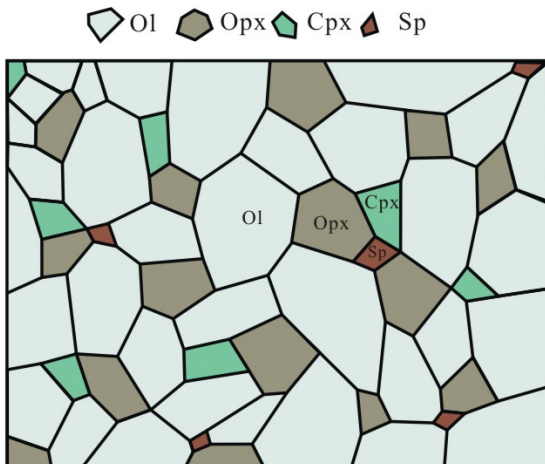
阳原橄榄岩中的熔体-橄榄岩反应



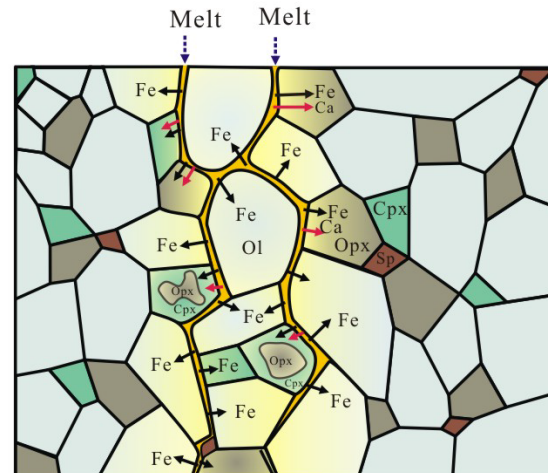
nearly intact Opx grains with rare sieve-textured Cpx at rims

resorbed Opx relics inside newly formed sieve textured Cpx

(a) initial status of the mantle

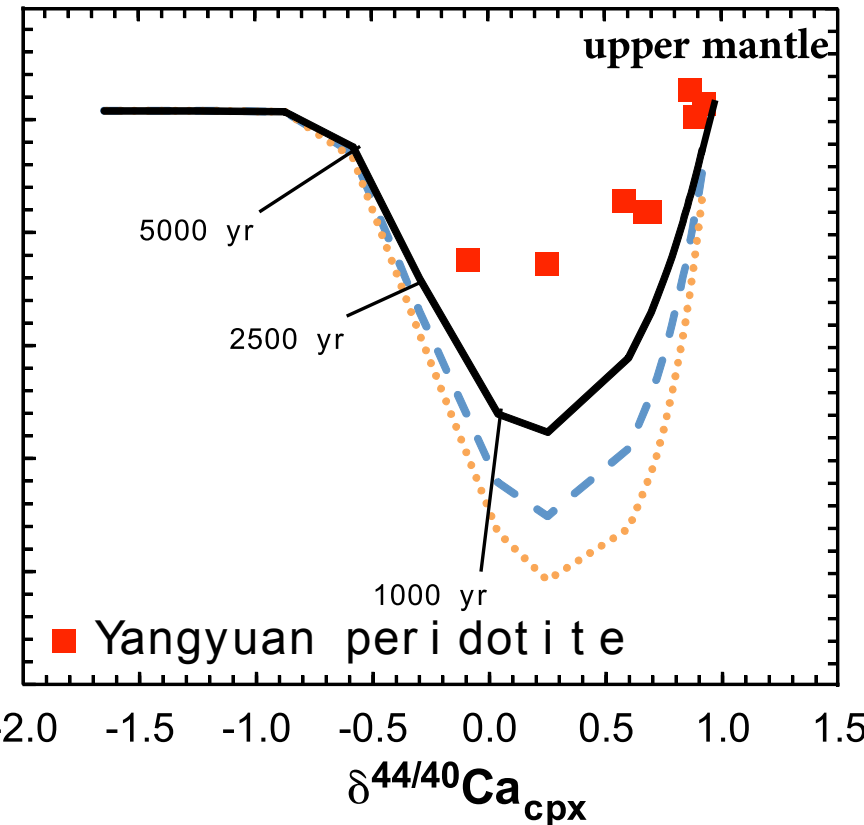
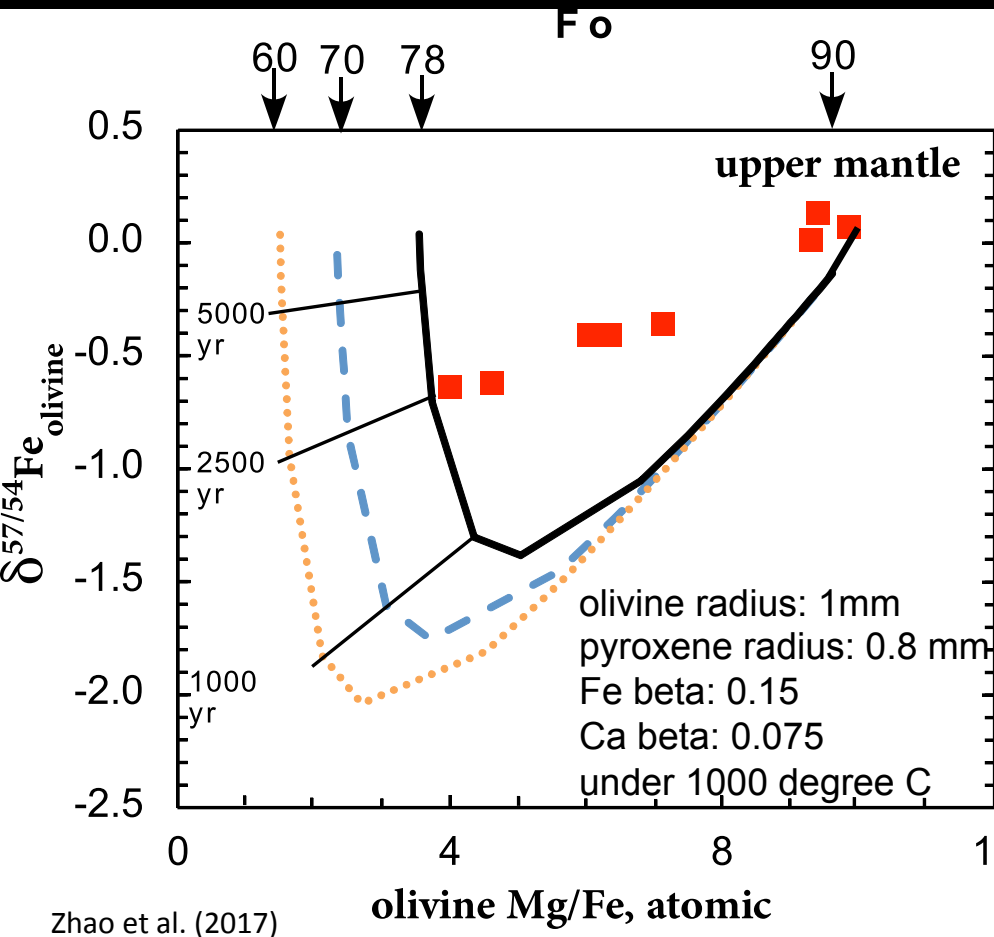


(b) Ca and Fe diffusion from melt to crystals



- Ca diffuses into Opx to form Cpx
- Fe diffuses into Ol to form low Fo Ol

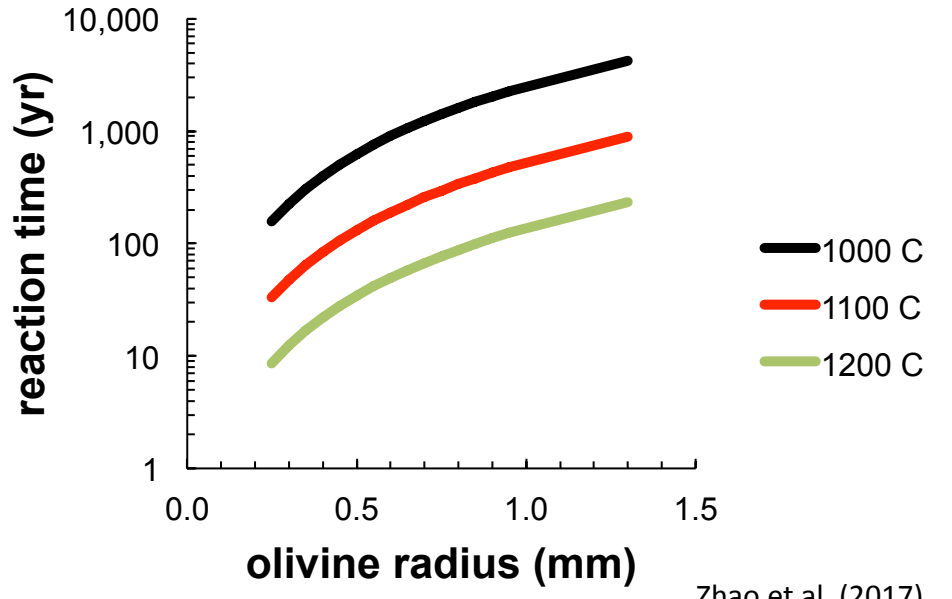
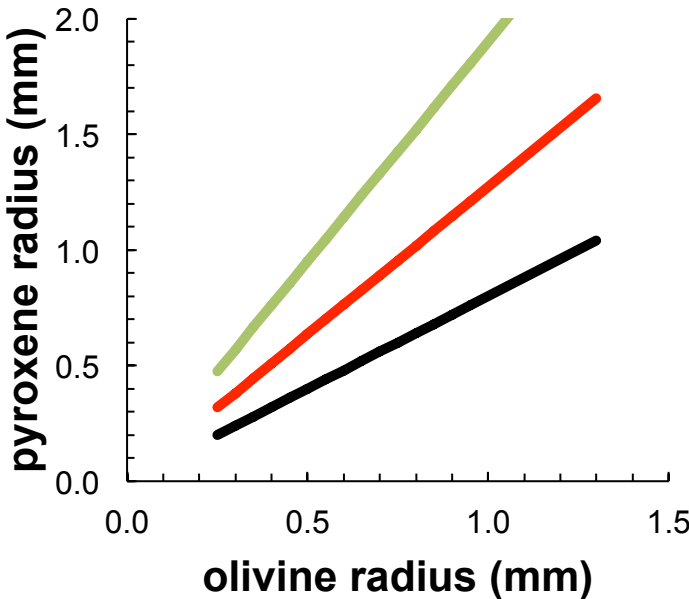
阳原橄榄岩中熔体-橄榄岩反应的同位素效应



- Ca diffuses into OPX to form CPX: Lead to low $\delta^{44/40}\text{Ca}$ in CPX
- Fe diffuses into OL to form low Fo OL: Lead to low $\delta^{57/54}\text{Fe}$ in OL
- The coupled, light Ca-Fe isotopic endmember was produced during melts percolating through peridotites

阳原橄榄岩中熔体-橄榄岩反应的同位素效应

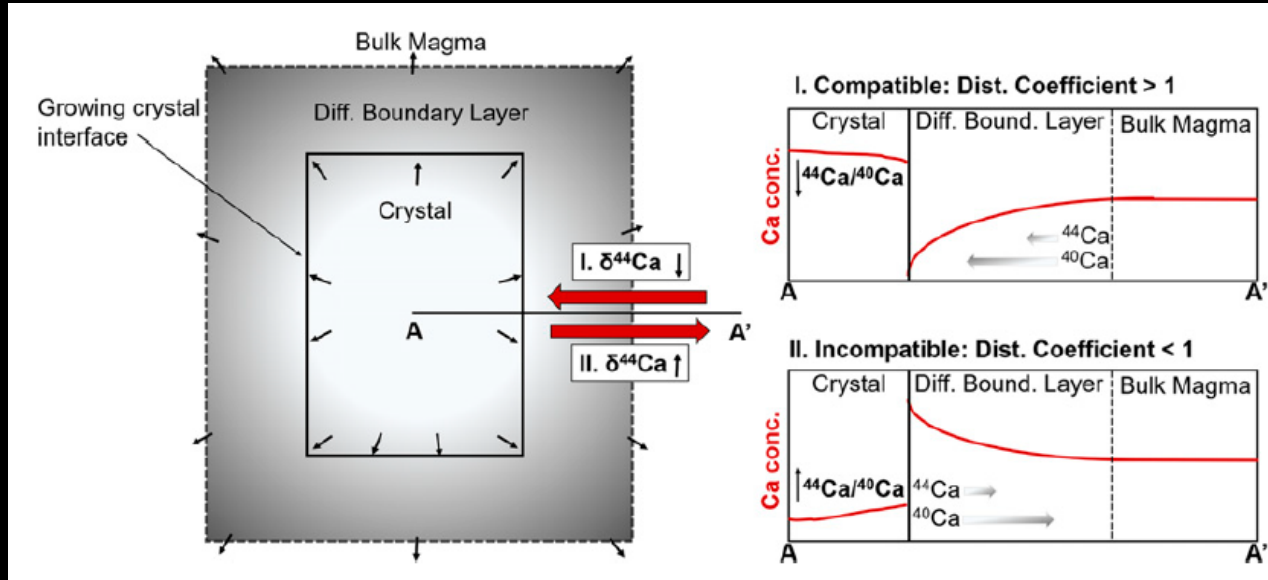
$$C(t) = Cr + \frac{6(Ci - Cr)}{\pi^2} \sum_{n=1}^{\infty} \frac{1}{n^2} \exp\left(\frac{-Dt n^2 \pi^2}{a^2}\right)$$



Zhao et al. (2017)

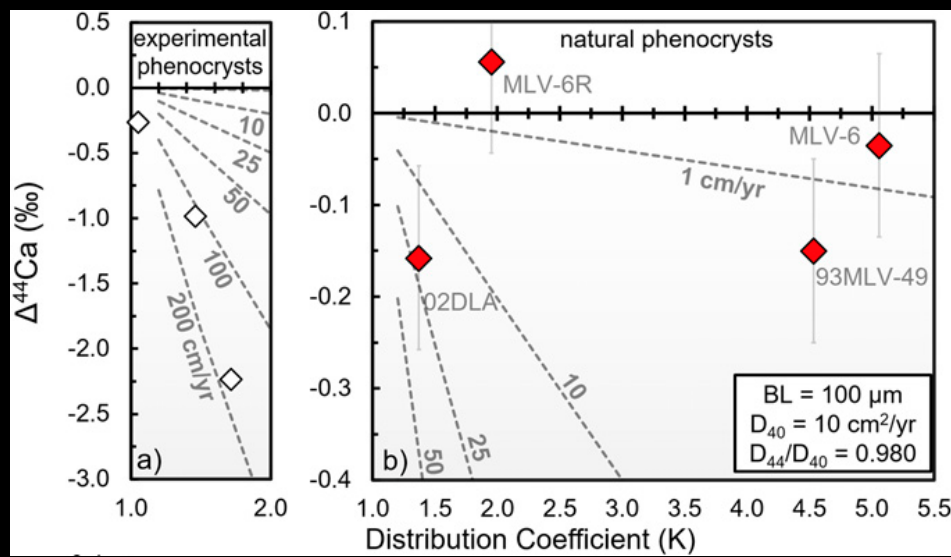
- The coupled, light Ca-Fe isotopic endmember was produced during melts percolating through peridotites at a time scale of <10 to 10,000s of years

矿物生长中的同位素效应



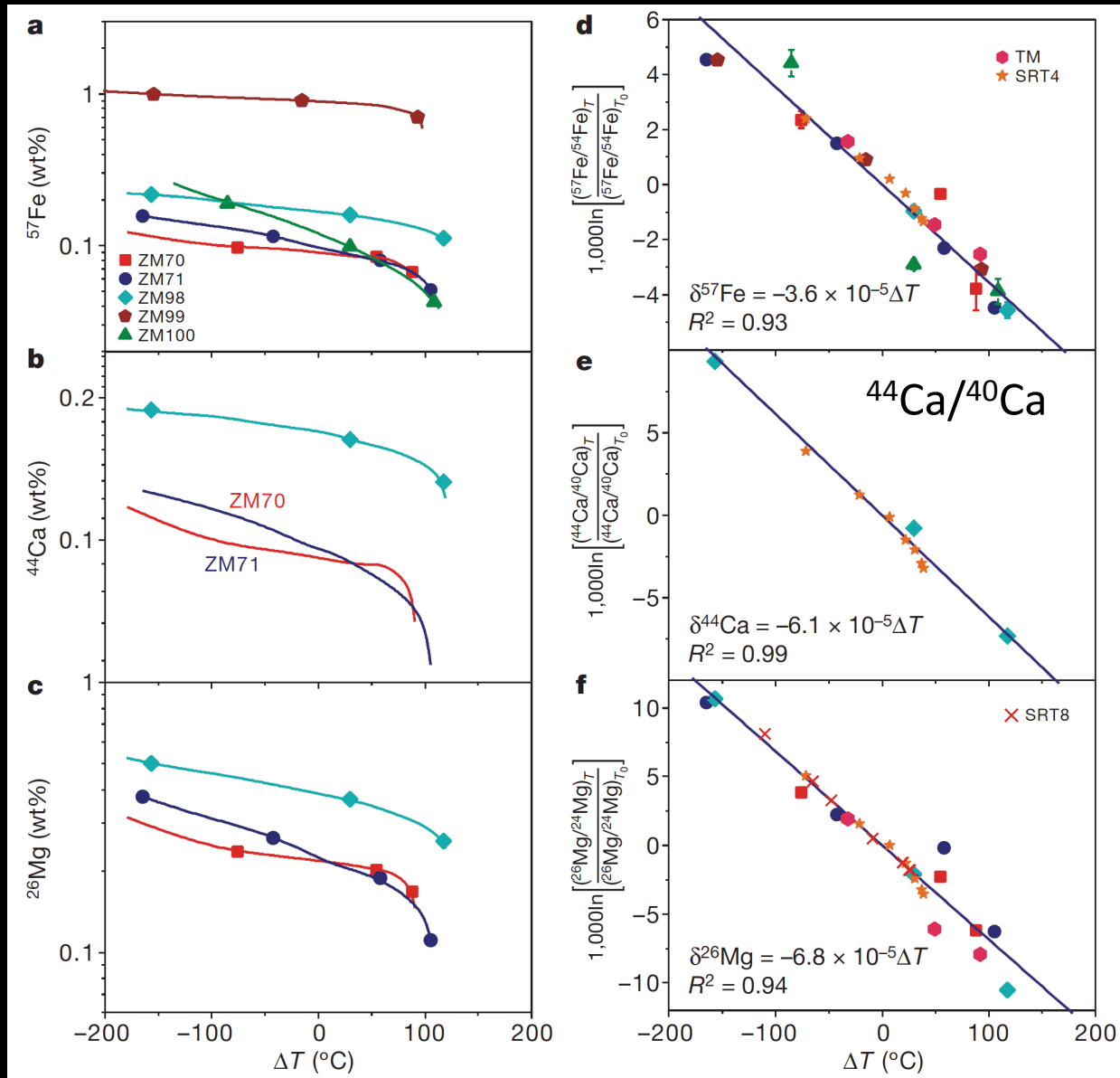
Antonelli et al. (2019)

- $K>1$, 相容, 矿物的钙同位素偏轻
- $K<1$, 不相容, 矿物的钙同位素偏重
- 矿物生长速度越快, 同位素效应越大



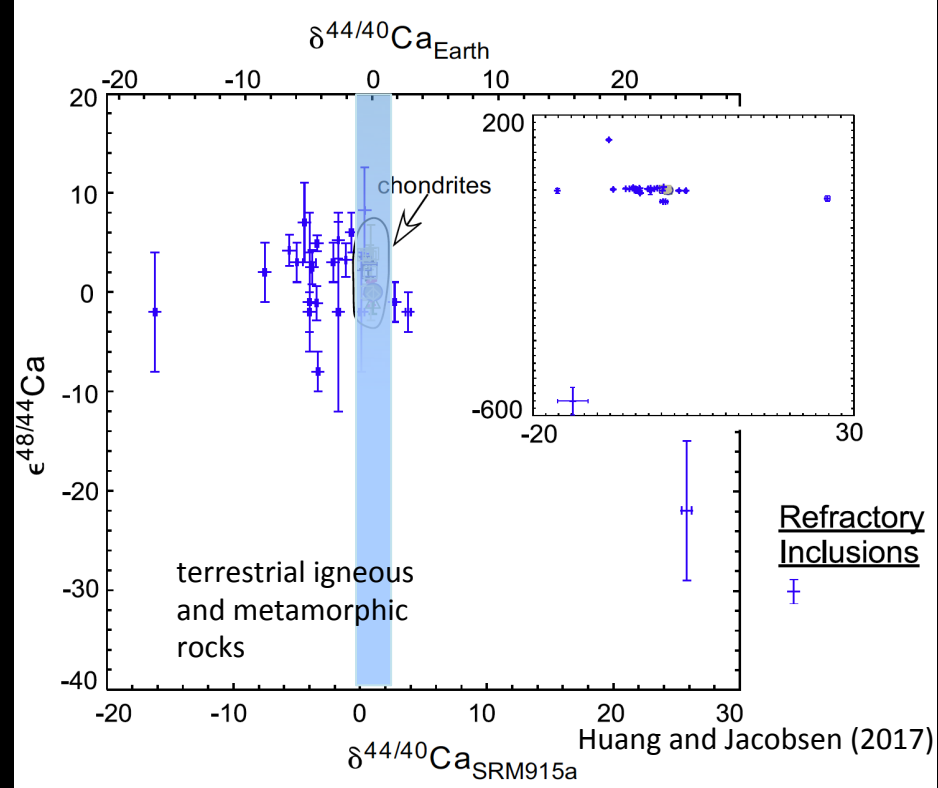
温度效应: Soret effect

➤ 轻同位素富集在低
温一端

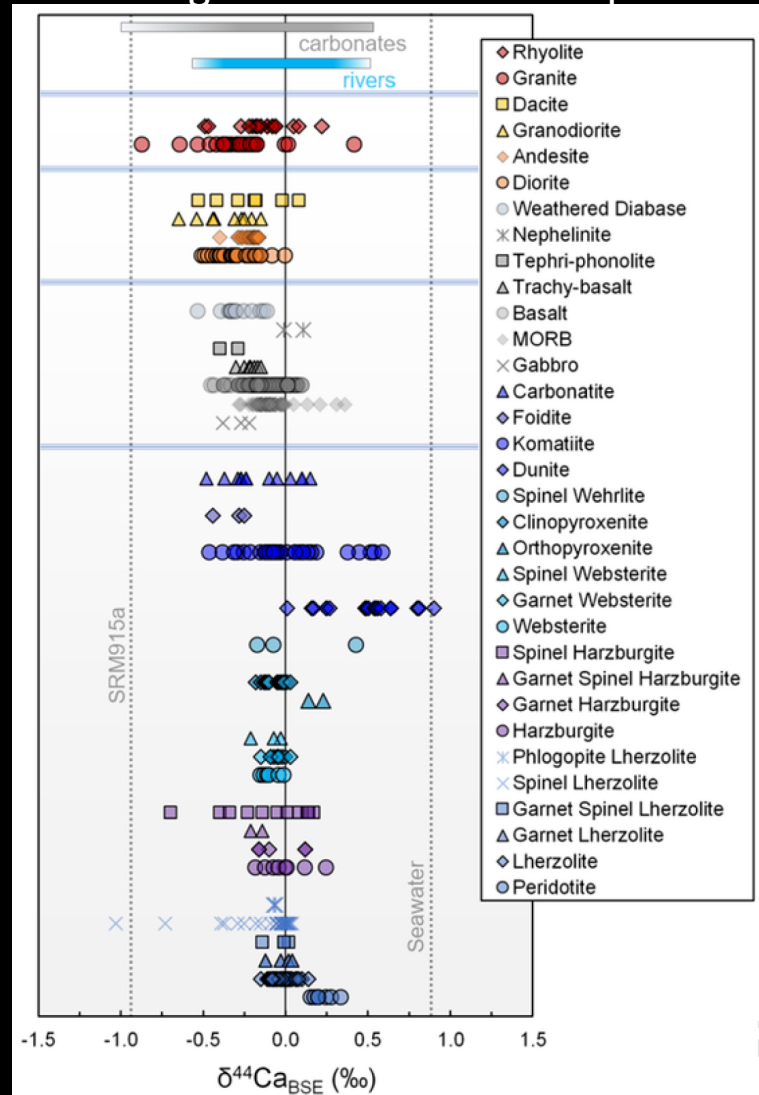


太阳系内的钙同位素变化

chondrites and their components



terrestrial igneous and metamorphic rocks



Antonelli and Simon (2020)

- nucleosynthesis
- condensation/evaporation
- inter-mineral fractionation
- partial melting / crystal fractionation
- recycling of surface material
- Soret effect: thermal diffusion
- chemical diffusion